

# Bornes effectives pour la torsion des courbes elliptiques sur les corps de nombres.

Pierre Parent

8 novembre 1996

## Résumé

On se propose de donner une forme effective au théorème de Mazur-Kamienny-Merel sur la torsion des courbes elliptiques sur les corps de nombres.

## Table des matières

<b>1</b>	<b>Présentation des résultats.</b>	<b>1</b>
1.1	Introduction. . . . .	1
1.2	Schéma de la preuve. . . . .	2
<b>2</b>	<b>Quotients de courbes elliptiques.</b>	<b>4</b>
<b>3</b>	<b>L’algèbre de Hecke pour <math>\Gamma_1</math> en niveau et poids quelconques.</b>	<b>6</b>
3.1	Rappels. . . . .	6
3.3	Cas de co-niveau qu’un seul premier $p$ divise. . . . .	8
3.3.1	Si $p$ divise $M$ . . . . .	8
3.3.2	Si $p$ ne divise pas $M$ . . . . .	9
3.4	Cas de co-niveau quelconque. . . . .	11
3.8	Finitude du quotient d’enroulement. . . . .	14
<b>4</b>	<b>Espaces tangents et cotangents.</b>	<b>18</b>
4.1	Espace tangent à $J_0(N)/\mathbf{Z}[1/N]$ en zéro. . . . .	18
4.8	Espace tangent au quotient de la jacobienne. . . . .	20
4.12	Preuve de la proposition “critère de Kamienny”. . . . .	21
<b>5</b>	<b>Lemme combinatoire.</b>	<b>24</b>
5.1	Notations et rappels. . . . .	25
5.2	Preuve de la proposition. . . . .	26

## 1 Présentation des résultats.

### 1.1 Introduction.

La “conjecture de borne uniforme pour les courbes elliptiques”, affirmant qu’il existe pour tout entier  $d$  un entier  $B(d)$  tel que, pour tout corps de nombres

$K$  de degré  $d$  sur  $\mathbf{Q}$  et pour toute courbe elliptique  $E$  sur  $K$ , la partie de torsion  $E(K)_{\text{tors}}$  du groupe de Mordell-Weil  $E(K)$  est de cardinal majoré par  $B(d)$ , a été démontrée dans le cas général en février 1994 par Loïc Merel. En fait, Merel (et Oesterlé) montrent que, si  $P$  est un point d'ordre  $p$  premier de  $E(K)$ , on a  $p \leq (1 + 3^{d/2})^2$ . Des travaux de Faltings et Frey permettent alors de conclure à l'existence des bornes  $B(d)$ , mais pas de manière effective : en effet, si on a bien majoré les nombres premiers pouvant diviser les groupes  $E(K)_{\text{tors}}$ , on ne sait pas en pratique quelles puissances de ces nombres premiers peuvent intervenir dans ces groupes. Le but de cet article est de démontrer une forme explicite de la forme forte de la conjecture de borne uniforme (le corollaire 1.8 ci-dessous), en donnant une borne pour ces puissances de premiers qui peuvent diviser la torsion.

## 1.2 Schéma de la preuve.

Soit  $E$  une courbe elliptique sur un corps de nombres  $K$  de degré  $d$  sur  $\mathbf{Q}$ , possédant un point  $K$ -rationnel  $P$ , tel que le cardinal du sous-groupe cyclique de  $E(K)$  engendré par  $P$  soit une puissance d'un nombre premier :  $|\langle P \rangle| = p^n$ . On cherche à majorer  $p^n$  en fonction de  $d$ . Soit  $l$  un nombre premier différent de 2 et de  $p$  (on prendra dans la suite le plus petit possible, *i.e.*  $l = 5$  si  $p = 3$ ,  $l = 3$  dans tous les autres cas). Soit  $\mathcal{L}$  un idéal maximal de  $\mathcal{O}_K$  (l'anneau des entiers du corps  $K$ ), contenant  $l$ . Examinons la fibre en  $\mathcal{L}$  du modèle de Néron (qu'on note  $\mathcal{E}$ ) de la courbe elliptique sur  $\mathcal{O}_K$ .

**Proposition 1.3** *Si en  $\mathcal{L}$  au-dessus de  $l$ , on a l'un des trois cas :*

1.  $\mathcal{E}$  a bonne réduction ;
2.  $\mathcal{E}$  a réduction additive ;
3.  $\mathcal{E}$  a réduction multiplicative tordue ;
4.  $\mathcal{E}$  a réduction multiplicative déployée et  $\langle \tilde{P} \rangle$  (où  $\tilde{P}$  est la réduction de  $P \bmod \mathcal{L}$ ) appartient à la composante neutre,

alors  $|\langle P \rangle| \leq 2 \cdot (1 + l^d)$ .

**Remarque.** Cette proposition classique est explicitée dans [Edixhoven 94] par exemple, ou dans [Kamienny 92b]. Dans le cas 2., on peut borner par 4 l'ordre du groupe des composantes de la réduction additive, donc la borne pour l'ordre de  $P$  est 1 si  $p \geq 5$ , 3 si  $p = 3$ , et 4 si  $p = 2$ . Dans les cas 1. et 4., la borne est en fait  $(l^{d/2} + 1)^2$  (borne de Weil) et  $(l^d - 1)$  (cardinal de groupe multiplicatif) respectivement, donc en  $l^d$ . Le cas 3. la porte à  $(1 + l^d)$  ou à  $2(1 + 3^d)$  : dans ce cas en effet, soit  $\tilde{P}$  appartient à la composante neutre, et son ordre est majoré par  $(1 + l^d)$  ; soit il est dans une composante non triviale. Le groupe de Galois d'une extension quadratique du corps résiduel  $k(\mathcal{L})$  agit alors par la multiplication par  $(\pm 1)$  sur le groupe des composantes. Mais  $\tilde{P}$  est  $k(\mathcal{L})$ -rationnel, et donc la composante à laquelle il appartient égale son opposée, ce qui veut dire que  $2\tilde{P}$  est dans la composante neutre (chose qui ne peut arriver que si  $p$  est 2).

Supposons donc qu'en tout  $\mathcal{L}$  au-dessus de  $l$ ,  $\mathcal{E}$  ait réduction multiplicative déployée et que  $\tilde{P}$  ne soit pas trivial dans le groupe des composantes de cette réduction  $\mathcal{E}_{k(\mathcal{L})}$  de  $\mathcal{E}_{/\mathcal{O}_K}$ . Pour avoir une bonne interprétation modulaire dans

la suite, comme indiqué plus bas, on aimerait que  $\tilde{P}$  soit d'ordre  $p^n$  dans le groupe des composantes de  $\mathcal{E}_{k(\mathcal{L})}$  : d'où l'idée d'examiner le quotient de  $\mathcal{E}_{k(\mathcal{L})}$  par le plus gros sous-groupe de  $\langle \tilde{P} \rangle$  inclus dans sa composante neutre  $\mathcal{E}_{k(\mathcal{L})}^0$ . Soit donc  $n_{\mathcal{L}}$  le plus petit entier tel que  $p^{n_{\mathcal{L}}}\tilde{P}$  tombe dans  $\mathcal{E}_{k(\mathcal{L})}^0$ . Soit aussi  $n'$  le plus petit des  $n_{\mathcal{L}}$ , pour  $\mathcal{L}$  parcourant l'ensemble des places de  $\mathcal{O}_K$  au-dessus de  $l$ . Oesterlé énonce :

**Lemme 1.4** *Soit  $k$  élément de  $\mathbf{N}$  ; si en la place  $\mathcal{L}$ ,  $p^{k-1}.P$  ne se réduit pas dans la composante neutre de  $\mathcal{E}_{k(\mathcal{L})}$ , alors la réduction de  $\tilde{P}$  dans la fibre en  $\mathcal{L}$  du modèle de Néron  $\mathcal{E}'$  de  $E/\langle p^k.P \rangle$  est d'ordre exactement  $p^k$  dans son groupe des composantes.*

L'interprétation modulaire de ce lemme, qui sera démontré dans la section 2, est donc la suivante : le point  $K$ -rationnel  $j$  de la courbe modulaire  $X_0(p^{n'})$  que définit le couple  $(E/\langle p^{n'}.P \rangle, \langle P \rangle)$  se réduit en la pointe 0 modulo toute place  $\mathcal{L}$  ; et l'image  $j'$  de ce point par l'involution d'Atkin-Lehner, en la pointe infinie (voir [Mazur 77] , page 159). Voyons comment on peut alors utiliser les arguments de Kamienny ([Kamienny 92b], [Edixhoven 94]) pour démontrer son critère.

**Remarque.** *Dans toute la suite, on notera  $E$  ce qui sera en réalité  $(E/\langle p^{n'}.P \rangle)$  ; on notera aussi  $p^n$  pour  $p^{n'}$ . La borne qu'on obtiendra pour  $|\langle P \rangle|$  devra donc être multipliée par un facteur  $(l^d - 1)$  pour avoir une borne à notre  $p^n$  "originel" (en effet,  $(p^n/p^{n'})$  est inférieur au cardinal du groupe multiplicatif  $\mathbf{G}_{m, \mathbf{F}_l}$ ).*

Si les  $\sigma_i$ ,  $1 \leq i \leq d$  sont les plongements de  $K$  dans  $\overline{\mathbf{Q}}$ ,  $j^{(d)} := (\sigma_1(j'), \sigma_2(j'), \dots, \sigma_d(j'))$  définit un point  $\mathbf{Q}$ -rationnel du produit symétrique  $d$ -ième :  $X_0(p^n)^{(d)}$ , de  $X_0(p^n)$ .

Définissons comme Merel le quotient d'enroulement ([Merel 95]). On considère les premiers groupes d'homologie singulière absolue :  $H_1(X_0(p^n); \mathbf{Z})$  et relative aux pointes :  $H_1(X_0(p^n), \text{pointes}; \mathbf{Z})$ , de  $X_0(p^n)$ , le premier étant vu comme un sous-groupe du second. Si  $a$  et  $b$  sont deux éléments de  $\mathbf{P}^1(\mathbf{Q})$ , le *symbole modulaire*  $\{a, b\}$  est l'élément de  $H_1(X_0(p^n), \text{pointes}; \mathbf{Z})$  défini par l'image de n'importe quel chemin continu reliant  $a$  à  $b$  sur le demi-plan de Poincaré auquel on a ajouté l'ensemble  $\mathbf{P}^1(\mathbf{Q})$  de ses pointes. L'intégration définit un isomorphisme classique d'espaces vectoriels réels :

$$\left\{ \begin{array}{l} H_1(X_0(p^n); \mathbf{Z}) \otimes \mathbf{R} \rightarrow \text{Hom}_{\mathbf{C}}(H^0(X_0(p^n); \Omega^1), \mathbf{C}) \\ \gamma \otimes 1 \mapsto \left( \omega \mapsto \int_{\gamma} \omega \right). \end{array} \right.$$

Selon un théorème de Manin et Drinfeld, l'image réciproque de la forme linéaire  $\omega \mapsto \int_{\{0, \infty\}} \omega$  dans  $H_1(X_0(p^n); \mathbf{R})$  est en réalité dans  $H_1(X_0(p^n); \mathbf{Q})$ . C'est l'*élément d'enroulement*, qu'on note  $e$  (comme d'habitude). (En fait, le résultat de Manin assure plus généralement que l'image réciproque de l'intégration sur *tout* symbole modulaire est à coefficients dans  $\mathbf{Q}$ .) Notons (toujours comme d'habitude)  $\mathbf{T}$  l'algèbre engendrée sur  $\mathbf{Z}$  par les opérateurs de Hecke  $T_i$  ( $i \geq 1$ , entier), agissant fidèlement entre autres sur  $H_1(X_0(p^n); \mathbf{Q})$  et sur la jacobienne  $J_0(p^n)$  de la courbe modulaire. Soit  $\mathcal{A}_e$  l'idéal annulateur dans  $\mathbf{T}$  de  $e$  (*idéal d'enroulement*) ; on définit alors le *quotient d'enroulement*  $J_0^e$  comme la variété abélienne quotient  $J_0(p^n)/\mathcal{A}_e J_0(p^n)$ . De façon similaire à Merel dans [Merel 95],

un théorème de Kolyvagin-Logachev nous permet de montrer dans la section 3 le :

**Théorème 1.5**  $J_0^e(\mathbf{Q})$  est fini.

Soit maintenant l'application naturelle  $f_d : X_0(p^n)_{\text{lisse}}^{(d)} \rightarrow J_0^e$ , qu'on a normalisée par  $\infty^{(d)} \mapsto 0$ . On montre "par les arguments standards" que le fait que  $f_d$  soit une immersion formelle en  $\infty_{\mathbf{F}_l}^{(d)}$  contredit l'existence de notre point  $j^{(d)}$  (voir la sous-section 4.12). Or on a le "critère de Kamienny" :

**Théorème 1.6** On a équivalence entre :

1.  $f_d$  est une immersion formelle en  $\infty_{\mathbf{F}_l}^{(d)}$ , et
2.  $T_1e, \dots, T_{de}$  sont  $\mathbf{F}_l$ -linéairement indépendants dans  $\mathbf{T}e/l\mathbf{T}e$ .

De plus, ces deux conditions sont satisfaites si l'est :

3.  $T_1\{0, \infty\}, \dots, T_{d.s}\{0, \infty\}$  sont  $\mathbf{F}_l$ -linéairement indépendants dans l'espace vectoriel  $H_1(X_0(p^n), \text{pointes}; \mathbf{Z}) \otimes \mathbf{F}_l$  (ici et pour la suite,  $s$  désigne le plus petit nombre premier différent de  $p$ ).

(Le fait que la dernière condition implique les précédentes est une remarque d'Oesterlé en niveau premier, utilisée déjà par Merel ; ce théorème sera démontré dans la section 4). Il suffit donc maintenant de prouver :

**Proposition 1.7** Soit  $C := \sqrt{65}$ , si  $p$  est différent de 2, et  $C := \sqrt{129}$  si  $p$  est 2. Si  $p^n \geq C^2 \cdot (sd)^6$ , alors les  $T_i\{0, \infty\}$ ,  $1 \leq i \leq sd$  sont  $\mathbf{F}$ -linéairement indépendants (dans le  $\mathbf{F}$ -espace vectoriel  $H_1(X_0(p^n), \text{pointes}; \mathbf{Z}) \otimes \mathbf{F}$ ) pour tout corps  $\mathbf{F}$ .

De cette proposition, dont la démonstration occupe la section 5, découle donc le :

**Corollaire 1.8** Soit  $E$  une courbe elliptique sur un corps  $K$  de degré  $d$  sur  $\mathbf{Q}$ . Si  $E(K)$  possède un point  $P$  d'ordre une puissance  $p^n$  d'un nombre premier  $p$ , on a :

1.  $p^n \leq 65 \cdot (3^d - 1) \cdot (2d)^6$ , si  $p$  est différent de 2 et 3 ;
2. Si  $p = 3$ ,  $p^n \leq 65 \cdot (5^d - 1) \cdot (2d)^6$  ;
3. et pour  $p = 2$ ,  $2^n \leq 129 \cdot (3^d - 1) \cdot (3d)^6$ .

**Remarques.** Le théorème de Mordell-Weil assure que pour tous  $K$  et  $E$  comme ci-dessus, il existe deux entiers  $n_1$  et  $n_2$  tel que  $E(K)_{\text{tors}} \cong \mathbf{Z}/n_1\mathbf{Z} \times \mathbf{Z}/n_2\mathbf{Z}$ . On borne donc ainsi le cardinal de tous les  $p$ -groupes de  $E(K)_{\text{tors}}$ , et avec la borne de Merel-Oesterlé pour les nombres premiers  $p$  pouvant intervenir on obtient une borne effective "globale" pour l'ensemble  $\{\text{card}(E(K)_{\text{tors}}) \mid K \text{ est un corps de nombres de degré } d \text{ et } E \text{ est une courbe elliptique sur } K\}$ .

Une telle borne globale semble de toute façon assez facile à améliorer en reprenant les arguments de ce papier directement en niveau  $N$  entier quelconque.

La preuve dans son ensemble ayant été esquissée, nous allons montrer dans la suite, dans l'ordre indiqué, les différentes propositions utilisées.

## 2 Quotients de courbes elliptiques.

On prouve le lemme 1.4 :

**Proposition 2.1** *Soit  $E$  une courbe elliptique sur un corps de nombres  $K$ , notons  $\mathcal{E}$  son modèle de Néron sur  $\mathcal{O}_K$ , et soit  $P$  un point  $K$ -rationnel de  $E$ , d'ordre une puissance  $p^n$  d'un nombre premier  $p$ . Soit encore  $k$  un entier, et  $\mathcal{L}$  une place de  $\mathcal{O}_K$  qui ne soit pas au-dessus de  $p$ . Supposons qu'en  $\mathcal{L}$ ,  $\mathcal{E}$  ait réduction multiplicative déployée, et que  $p^{k-1}.P$  ne se réduise pas dans la composante neutre de  $\mathcal{E}_{k(\mathcal{L})}$ . Alors la réduction de  $P$  dans la fibre en  $\mathcal{L}$  du modèle de Néron  $\mathcal{E}'$  de  $E/\langle p^k.P \rangle$  est d'ordre exactement  $p^k$  dans son groupe de composantes.*

**Preuve.** Pour simplifier les notations, écrivons  $\mathcal{O}_K$  pour ce qui sera son localisé en  $\mathcal{L}$ , et  $F$  son corps résiduel (isomorphe à  $k(\mathcal{L})$ , donc dont la caractéristique est  $l \neq p$ ). On a la suite exacte de schémas en groupes sur  $F$  (comme faisceaux f.p.p.f.) :

$$0 \rightarrow \mathbf{G}_{m,F} \rightarrow \mathcal{E}_F \rightarrow (\mathbf{Z}/N\mathbf{Z})_F \rightarrow 0.$$

Soit  $a$  l'entier positif tel que  $\langle p^a.P \rangle_F = \langle p^a.\tilde{P} \rangle = \langle \tilde{P} \rangle \cap \mathcal{E}_F^0 (\subseteq \langle p^k.\tilde{P} \rangle)$ , où on a noté  $\mathcal{E}_F^0$  la composante neutre de la fibre spéciale du modèle de Néron de  $E$ . On a  $a \geq k$ , et  $p^a$  divise  $N$ . Il suffit de montrer que  $\mathcal{E}_F/\langle p^k.P \rangle_F$  est un ouvert de  $\mathcal{E}'_F$ , car alors le lemme est évident : on peut travailler dans  $\mathcal{E}_F/\langle p^k.P \rangle_F$ , où il est clair par le choix de  $k$  que l'image de  $P$  est d'ordre  $p^k$  dans le groupe des composantes.

**Première étape.** Montrons qu'on a  $\mathcal{E}_F/\langle p^k.P \rangle_F = (\mathcal{E}/\langle p^k.P \rangle)_F$ . Le groupe fini  $G := (\mathbf{Z}/p^{n-k}\mathbf{Z})$  agit sur  $\mathcal{E}/\mathcal{O}_K$  par addition de  $p^k.P$ . Comme  $\mathcal{E}/\mathcal{O}_K$  est quasi-projectif, l'orbite sous  $G$  de chaque point est contenue dans un affine. Donc on sait que tout ouvert affine  $\text{Spec}(A)$ , stable par  $G$ , de  $\mathcal{E}/\mathcal{O}_K$  donne les ouverts  $\text{Spec}(A^G \otimes_{\mathcal{O}_K} F)$  et  $\text{Spec}((A \otimes_{\mathcal{O}_K} F)^G)$  de  $(\mathcal{E}/\langle p^k.P \rangle)_F$  et  $\mathcal{E}_F/\langle p^k.P \rangle_F$  respectivement (voir [Serre], III §12, [Mumford], III §12). On a donc juste à vérifier que le morphisme canonique entre les deux anneaux ci-dessus est un isomorphisme. Il suffit pour cela de remarquer que,  $|G|$  étant inversible dans  $A$ , le projecteur  $A \rightarrow A^G$  qui envoie  $x$  sur  $\frac{1}{|G|} \sum_G g(x)$  commute au changement de base.

**Deuxième étape.** Pour pouvoir déduire de la propriété universelle des modèles de Néron un prolongement à tout  $\text{Spec}(\mathcal{O}_K)$  du morphisme sur la fibre générique  $(\mathcal{E}/\langle p^k.P \rangle)_K \rightarrow \mathcal{E}'_K$ , on doit vérifier que le premier schéma est lisse sur  $\text{Spec}(\mathcal{O}_K)$ . Considérons la suite exacte de schémas :

$$0 \rightarrow (\mathbf{Z}/p^{n-k}\mathbf{Z})/\mathcal{O}_K \rightarrow \mathcal{E}/\mathcal{O}_K \rightarrow (\mathcal{E}/\langle p^k.P \rangle)/\mathcal{O}_K \rightarrow 0 ;$$

ils sont tous ici localement de présentation finie, puisque localement de type fini sur un anneau noethérien. De plus, le premier schéma de la suite est étale sur  $\mathcal{O}_K$  ; puisque  $(\mathbf{Z}/p^{n-k}\mathbf{Z})$  agit librement sur  $\mathcal{E}/\mathcal{O}_K$ , la seconde flèche est finie étale (voir [Katz-Mazur], théorème A7.1.1). Étant données nos hypothèses, la lissité sur  $\mathcal{O}_K$  du dernier schéma résulte par exemple de la proposition 17.7.7 de [EGA IV].

**Troisième étape.** On considère donc le morphisme prolongé  $(\mathcal{E}/\langle p^k.P \rangle)/\mathcal{O}_K \rightarrow \mathcal{E}'/\mathcal{O}_K$ . Le premier schéma est séparé sur la base. On peut donc appliquer la proposition 3.2 de l'exposé IX de [SGA 7-I] : et dire que ce morphisme est une immersion ouverte. En se restreignant à la fibre spéciale, et en se servant de la

première étape, on peut bien voir comme on le voulait plus haut  $\mathcal{E}_F/\langle p^k.P \rangle_F$  comme un ouvert de  $\mathcal{E}'_F$ .  $\square$

### 3 L’algèbre de Hecke pour $\Gamma_1$ en niveau et poids quelconques.

On a introduit dans le “schéma de la preuve” l’algèbre de Hecke sur  $\mathbf{Z}$  pour  $\Gamma_0$ . On va maintenant se placer dans un cadre un peu plus général : ce qu’on notera dans cette section  $\mathbf{T}_{\mathbf{Z}}$  ou simplement  $\mathbf{T}$  désignera l’algèbre de Hecke “pour  $\Gamma_1$ , en niveau et poids quelconques” comme intitulé (pour plus de détails, voir la sous-section suivante). On notera  $\mathbf{T}_{\mathbf{Q}}$  et  $\mathbf{T}_{\mathbf{C}}$  les tensorisations de  $\mathbf{T}$  avec  $\mathbf{Q}$  et  $\mathbf{C}$  respectivement. Le but de ce qui suit est d’explicitier matriciellement l’action de  $\mathbf{T}_{\mathbf{Q}}$  sur l’espace des formes paraboliques de poids  $\lambda$  pour  $\Gamma_1(N)$ , où  $N$  est un entier quelconque. Pour cela, on se sert des résultats de [Atkin-Lehner 70] généralisés (voir par exemple [Lang], ou [Diamond-Im] ; ces références seront constamment utilisées). On en déduira la forme de  $\mathbf{T}_{\mathbf{Q}}$  comme  $\mathbf{Q}$ -algèbre abstraite, ce qui permettra ensuite, en se restreignant au cas de poids 2 et de caractère trivial (*i.e.*, formes modulaires sur  $\Gamma_0(N)$ ), de prouver la finitude du quotient d’enroulement sur  $\mathbf{Q}$  en niveau quelconque (théorème 3.9) - même si on n’a besoin pour le théorème 1.5 que des niveaux puissance d’un nombre premier.

#### 3.1 Rappels.

On commence par fixer les notations : soit  $f = \sum_{n \geq 1} a_n x^n$  une série formelle à coefficients dans un corps, en une variable ; soit  $\lambda$  et  $N$  deux entiers, et  $\varepsilon$  l’extension à  $\mathbf{Z}$  d’un caractère de Dirichlet sur  $(\mathbf{Z}/N\mathbf{Z})^\times$  (on pose  $\varepsilon(n) = 0$  si  $(n \wedge N) \neq 1$ ). On note  $t_p, U_q, B_d$  ( $p, q$ , premiers,  $d$  entier quelconque), les opérateurs définis formellement (voir [Atkin-Lehner 70]) par :

$$\begin{cases} t_p(f) = \sum_{n \geq 1} (a_{np} + \varepsilon(p)p^{\lambda-1} a_{n/p})x^n ; \\ U_q(f) = \sum_{n \geq 1} a_{np} x^n ; \\ B_d(f) = \sum_{n \geq 1} a_n x^{nd} = \sum_{n \geq 1} a_{n/d} x^n , \end{cases}$$

où on pose  $a_{n/m} = 0$  si  $m$  ne divise pas  $n$ . On a les relations de commutation suivantes :

$$\begin{cases} B_d \circ B_{d'} = B_{d'} \circ B_d, \text{ pour tous } d, d' \text{ dans } \mathbf{N} ; \\ t_p \circ B_d = B_d \circ t_p, \text{ si } p \text{ et } d \text{ sont premiers entre eux} ; \\ t_p \circ t_{p'} = t_{p'} \circ t_p \text{ pour tous } p \text{ et } p' \text{ premiers} ; \\ t_p \circ U_q = U_q \circ t_p \text{ si } p \neq q ; \\ U_q \circ U_{q'} = U_{q'} \circ U_q, \text{ pour tous } q \text{ et } q' \text{ premiers} ; \\ U_q \circ B_d = B_d \circ U_q, \text{ si } d \text{ et } q' \text{ sont premiers entre eux.} \end{cases}$$

De plus,

$$U_q \circ B_{q^k} = B_{q^{k-1}}.$$

Considérons maintenant l’espace des formes modulaires de poids  $\lambda$  pour  $\Gamma_1(N)$  à coefficients dans  $\mathbf{Z}$ ,  $S_\lambda(\Gamma_1(N))$ , et sa tensorisation par  $\mathbf{Q}$ ,  $S_\lambda(\Gamma_1(N)) \otimes_{\mathbf{Z}} \mathbf{Q}$ ,

qu'on écrira  $S_\lambda(\Gamma_1(N))_{\mathbf{Q}}$  (de même,  $S_\lambda(\Gamma_1(N))_{\mathbf{C}}$ ). On peut définir l'algèbre de Hecke d'endomorphismes de ce  $\mathbf{Q}$ -espace, comme on le disait précédemment, qui est engendrée par les opérateurs  $T_p$  ( $p$  premier), et les opérateurs diamants  $\langle n \rangle$  (pour les  $n$  premiers au niveau  $N$ ). Un élément de  $S_\lambda(\Gamma_1(N))_{\mathbf{Q}} \subset S_\lambda(\Gamma_1(N))_{\mathbf{C}}$  peut être vu comme une fonction  $f(z)$  holomorphe sur le demi-plan de Poincaré, et on peut écrire son développement de Fourier en l'infini pour arriver à l'expression :

$$f(x) = \sum_{n \geq 1} a_n x^n ,$$

où  $x = e^{2i\pi z}$ , et les  $a_n$  sont dans  $\mathbf{Q}$ . L'action des opérateurs de Hecke  $T_p$  sur  $S_\lambda(\Gamma_1(N))_{\mathbf{Q}}$  est alors précisément celle décrite plus haut par opérateurs  $t_p$ , si  $p$  ne divise pas  $N$ , et  $U_q$  si  $q$  divise  $N$ ; on conserve désormais cette notation "mixte" pour nous des  $T_p, U_q$ , qui est celle d'Atkin-Lehner. On rappelle alors le théorème principal de leur théorie (voir [Diamond-Im], [Lang]) :

**Théorème 3.2 (Atkin-Lehner)** *L'espace  $S_\lambda(\Gamma_1(N))_{\mathbf{C}}$  se décompose en une somme directe :*

$$S_\lambda(\Gamma_1(N))_{\mathbf{C}} = \bigoplus_{\varepsilon} S_\lambda(N, \varepsilon),$$

où  $S_\lambda(N, \varepsilon)$  désigne l'espace propre correspondant au caractère de Dirichlet  $\varepsilon$ , et la somme est prise sur tous les tels  $\varepsilon$  vérifiant  $\varepsilon(-1) = (-1)^\lambda$ .

Chaque espace  $S_\lambda(N, \varepsilon)_{\mathbf{C}}$  possède à son tour une base  $\mathcal{B}^\varepsilon$  composée de sous-bases  $\mathcal{B}_f^\varepsilon$  du type suivant :

$$\mathcal{B}_f^\varepsilon = \{f(kz), k|(N/M)\} = \{B_k(f), k|(N/M)\} ,$$

où  $f$  est une newform en niveau  $M$ , de caractère  $\chi$  (sur  $(\mathbf{Z}/M\mathbf{Z})^\times$ ) tel que l'extension de  $\chi$  à  $(\mathbf{Z}/N\mathbf{Z})^\times$  égale  $\varepsilon$ ; si  $C$  est le conducteur de  $\varepsilon$  (ou de  $\chi$ ), on a  $a : C|M|N$ . Si  $N = M$ , alors  $\mathcal{B}_f^\varepsilon$  ne comporte qu'un élément, et on l'appelle une newclass; sinon,  $\mathcal{B}_f^\varepsilon$  est une oldclass. On note  $E_f^\varepsilon$  le sous  $\mathbf{C}$ -espace de  $S_\lambda(N, \varepsilon)_{\mathbf{C}} \subset S_\lambda(\Gamma_1(N))_{\mathbf{C}}$  engendré par  $\mathcal{B}_f^\varepsilon$ .

Pour  $p$  premier à  $M$ , (respectivement,  $q$  premier divisant  $M$ ),  $f$  est un vecteur propre de  $T_p$  (respectivement  $U_q$ ), et la valeur propre associée est le  $p$ -ième coefficient  $a_p$  de  $f$ , (qui, puisque newform, est supposée normalisée par  $a_1 = 1$ ).

Dans le cas où  $\varepsilon$  est trivial (formes modulaires pour  $\Gamma_0(N)$ ), si  $q^2$  divise  $M$ , on a  $U_q(f) = 0$ , tandis que si  $q$  - mais pas son carré - divise  $M$  (ce qu'on note  $q||M$ ),  $U_q(f) = \pm f$ .

On va donc maintenant écrire matriciellement l'action de l'algèbre de Hecke  $\mathbf{T}_{\mathbf{C}}$  sur  $S_\lambda(\Gamma_1(N))_{\mathbf{C}}$ , en écrivant cet espace comme somme de facteurs  $S_\lambda(N, \varepsilon)_{\mathbf{C}}$ , qu'on décompose à leur tour en somme des  $E_f^\varepsilon$  qui correspondent aux classes du théorème. (On en déduira à chaque fois l'action de  $\mathbf{T}_{\mathbf{Q}}$  sur  $S_\lambda(\Gamma_1(N))_{\mathbf{Q}}$ , en le décomposant en sous- $\mathbf{Q}$ -espaces  $\mathcal{E}_f^\varepsilon$  dont la tensorisation avec  $\mathbf{C}$  donne la somme des conjugués sous Galois des  $E_f^\varepsilon$ .) On commencera d'abord (3.3) par étudier le cas de "co-niveau" puissance de premier, c'est-à-dire le cas où, avec les notations du théorème,  $(N/M) = p^k$  pour  $p$  premier - (et c'est encore une fois le seul cas dont on ait besoin dans le reste du papier). Puis on traitera le cas général en 3.4.

### 3.3 Cas de co-niveau qu'un seul premier $p$ divise.

Soit donc  $f \in S_\lambda(N, \varepsilon)_{\mathbf{C}}$ , qui est une newform en niveau  $M$ , avec  $N/M = p^k$ . On a alors  $\mathcal{B}_f = \{(f(z), f(pz), f(p^2z), \dots, f(p^kz)) = \{f, B_p(f), \dots, B_{p^k}(f)\}$ . Examinons l'action des différents opérateurs de Hecke sur  $E_f$  : d'après les résultats précédents, les opérateurs  $T_l$ ,  $l$  ne divisant pas  $N$ , et  $U_q$ ,  $q$  divisant  $M$  et différent de  $p$ , de même que les opérateurs diamants, agissent diagonalement sur  $E_f$ , puisqu'ils ont  $f$  comme vecteur propre et qu'ils commutent avec les  $B_{p^j}$ ,  $0 \leq j \leq k$ . Puisque  $\mathbf{T}_{\mathbf{Z}}$  opère sur  $S_\lambda(\Gamma_1(N))_{\mathbf{Z}}$ , qui est un  $\mathbf{Z}$ -module libre de rang fini, les valeurs propres des  $T_l$  sont des entiers algébriques. Et il existe un corps de nombre  $K_f$  contenant tous les  $a_p$  (car l'algèbre de Hecke est un  $\mathbf{Z}$ -module de type fini).

**Remarque.** *Le corps de nombres engendré par les valeurs propres associées à  $f$  de  $\mathbf{T}_{\mathbf{Q}}$  n'est pas plus grand que  $K_f$  : en effet, même s'il contient, en plus des  $a_n$ , les valeurs propres des opérateurs diamants, la relation  $p^{\lambda-1}\langle p \rangle = T_p^2 - T_{p^2}$  (pour tout  $p$  premier ne divisant pas le niveau) montre que ces valeurs propres appartiennent à  $K_f$ .*

En caractère trivial, les  $U_q$  sont triviaux, puisque leurs valeurs propres en  $f$  sont soit 0, soit 1, soit  $-1$  ; dans ce cas encore, les coefficients  $a_n$  de  $f$  sont de plus totalement réels : en effet, les opérateurs de Hecke sont auto-adjoints pour le produit scalaire de Petersson :

$$\langle f, g \rangle = \int \int_{z=x+iy \in D} f(z) \overline{g(z)} y^{\lambda-2} dx dy ,$$

qui fait de  $S_2(N)_{\mathbf{C}}$  un espace de Hilbert (on a désigné par  $D$  dans l'intégrale un domaine fondamental du demi-plan de Poincaré pour  $\Gamma_0(N)$ ). (En fait, on définit un produit scalaire de Petersson pour tout  $S_\lambda(\Gamma_1(N))_{\mathbf{C}}$ , pour lequel les  $T_l$  sont normaux (sinon auto-adjoints), et pour lequel la décomposition en  $E_f^\varepsilon$  est orthogonale - voir la preuve de 3.7.)

Revenant au cas général, on considère maintenant l'action de  $U_p$ . Pour cela, on distingue deux cas : selon que  $p$  divise ou non  $M$ .

#### 3.3.1 Si $p$ divise $M$ .

L'opérateur  $U_p$  de l'algèbre de Hecke en niveau  $N$  est le même que celui de niveau  $M$ , et donc avec le lemme plus haut,

$$\begin{cases} U_p(f) = a_p f, \text{ et} \\ U_p(B_{p^j}(f)) = B_{p^{j-1}}(f) \text{ si } j \geq 1 . \end{cases}$$

Dans la base  $\mathcal{B}_f$ ,  $U_p$  est donc sous la forme ( $M_1$ ) :

$$U_p = \begin{pmatrix} a_p & 1 & . & . & . & . & 0 \\ 0 & 0 & 1 & & & & . \\ . & & . & . & & & . \\ . & & & . & . & & . \\ . & & & & . & . & . \\ . & & & & & . & 1 \\ 0 & . & . & . & . & . & 0 \end{pmatrix}.$$

Si  $a_p = 0$ , la matrice précédente n'a qu'un bloc de Jordan, et la restriction  $R_f$  de l'algèbre de Hecke  $\mathbf{T}_{\mathbf{Q}}$  au  $\mathbf{Q}$ -espace  $\mathcal{E}_f^\varepsilon$  qu'on a défini plus haut (correspondant sur  $\mathbf{C}$  à la somme des conjugués par Galois de  $E_f^\varepsilon$ ), est de forme :

$$R_f = K_f[U_p] \simeq K_f[X]/(X^{k+1}).$$

Sinon, on a pour  $U_p$  deux blocs de Jordan, un petit correspondant à la valeur propre  $a_p$ , et un gros, correspondant à 0; en tant que  $\mathbf{Q}$ -algèbres, on a donc l'isomorphisme

$$R_f \simeq K_f \times K_f[X]/(X^k).$$

**Remarque.** *Le fait que le corps du deuxième facteur de  $R_f$  soit bien tout  $K_f$ , malgré l'absence de la valeur propre  $a_p$ , peut se voir par un argument de dimension des espaces cotangents; ou bien avec les résultats d'Atkin-Lehner, qui disent moralement qu'une newform est caractérisée par "tous ses coefficients de Fourier moins un nombre fini".*

**Application au cas de caractère trivial.** Dans ce cas, si  $p^2$  divise  $M$ ,  $a_p = 0$ , et  $R_f \simeq K_f[X]/(X^{k+1})$ ; la base  $\mathcal{B}_f^\varepsilon$  diagonalise  $U_p$ . Si en revanche  $p$  - mais pas son carré - divise  $M$ , on a  $a_p = \pm 1$ , donc  $R_f \simeq K_f \times K_f[X]/(X^k)$ , et on voit facilement que la nouvelle base de  $E_f^\varepsilon$  :

$$\mathcal{B}'_f = \{f, B_p(f) - a_p f, B_{p^2}(f) - f, \dots, B_{p^{2j}}(f) - f, B_{p^{2j+1}}(f) - a_p f, \dots\}$$

est de Jordan pour  $U_p$  et donc triangulise toute la restriction de l'algèbre de Hecke à  $E_f^\varepsilon$ .

### 3.3.2 Si $p$ ne divise pas $M$ .

Le fait nouveau par rapport au cas précédent est que l'algèbre de Hecke en niveau  $N$ ,  $\mathbf{T}_{N,\mathbf{C}}$ , qu'on fait agir sur  $E_f^\varepsilon$ , n'est plus la restriction à cet espace de l'algèbre de Hecke en niveau  $M$  : le "bon"  $p$ -ième opérateur de Hecke, celui pour lequel  $f$  est un vecteur propre, est  $T_p$ , mais puisqu'on s'intéresse à  $\mathbf{T}$  en niveau  $N$ , on doit considérer à la place l'opérateur  $U_p$ .

Puisque  $f$  est propre pour  $T_p$ , on a :

$$T_p(f) = \sum_{n \geq 1} (a_{np} + \varepsilon(p) p^{\lambda-1} a_{n/p}) x^n = a_p f ,$$

et les coefficients de  $f$  vérifient donc pour tout  $n$  les relations :

$$a_p a_n = a_{np} + \varepsilon(p) p^{\lambda-1} a_{n/p}.$$

On calcule alors :

$$\begin{aligned} U_p(f) &= \sum_{n \geq 1} a_{np} x^n \\ &= \sum_{n \geq 1} (a_p a_n - \varepsilon(p) p^{\lambda-1} a_{n/p}) x^n \\ &= a_p f - \varepsilon(p) p^{\lambda-1} B_p(f). \end{aligned}$$

La matrice de  $U_p$  dans  $\mathcal{B}_f$  est donc  $(M_2)$  :

$$U_p = \begin{pmatrix} a_p & 1 & \cdot & \cdot & \cdot & \cdot & 0 \\ (-\varepsilon(p) p^{\lambda-1}) & 0 & 1 & & & & \cdot \\ 0 & 0 & 1 & & & & \cdot \\ \cdot & & & \cdot & \cdot & & \cdot \\ \cdot & & & & \cdot & \cdot & \cdot \\ \cdot & & & & & \cdot & 1 \\ 0 & \cdot & \cdot & \cdot & \cdot & \cdot & 0 \end{pmatrix}.$$

Le polynôme caractéristique de la restriction de  $U_p$  à  $E_f^\varepsilon$  est

$$P_{U_p}(X) = (X^2 - a_p X + \varepsilon(p) p^{\lambda-1}) \cdot X^{k-1} ,$$

et les racines  $\alpha_p$  et  $\bar{\alpha}_p$  du premier facteur sont simples si  $a_p^2 \neq 4\varepsilon(p) p^{\lambda-1}$ , doubles (valant  $\pm \sqrt{\varepsilon(p)} p^{\frac{\lambda-1}{2}}$ ) sinon ; dans ce deuxième cas on voit sur le rang de  $U_p$  qu'il a deux blocs de Jordan, un pour chaque valeur propre (0 et  $\pm \sqrt{\varepsilon(p)} p^{\frac{\lambda-1}{2}}$ ).

**Remarque.** *En caractère trivial et poids 2, ce dernier cas, (qui correspond à une valeur maximale de  $a_p$  selon la borne de Weil, qui dit que  $|a_p| \leq 2\sqrt{p}$ ), est en fait exclu, par un théorème non encore publié de Coleman et Edixhoven ([Coleman-Edixhoven 96]); on l'explique quand même - en attendant.*

Si  $a_p^2 \neq 4\varepsilon(p) p^{\lambda-1}$ , dans une base convenable la restriction de  $U_p$  à  $E_f^\varepsilon$  s'écrit

( $M_3$ ) :

$$U_p = \begin{pmatrix} \begin{array}{c|c} \begin{array}{cc} \overline{\alpha_p} & 0 \\ 0 & \overline{\alpha_p} \end{array} & \\ \hline & 0 \end{array} & \\ \hline & \begin{array}{cccccc} 0 & 1 & \cdot & \cdot & \cdot & 0 \\ \cdot & 0 & 1 & & & \cdot \\ 0 & \cdot & \cdot & \cdot & \cdot & \cdot \\ \cdot & \cdot & \cdot & \cdot & \cdot & \cdot \\ \cdot & \cdot & \cdot & \cdot & \cdot & 1 \\ 0 & \cdot & \cdot & \cdot & \cdot & 0 \end{array} \end{array} \end{pmatrix}.$$

Dans ce cas-là, si on pose  $K'_f = K_f[X]/(X^2 - a_p X + \varepsilon(p) p^{\lambda-1})$ , (qui n'est pas nécessairement un corps), la restriction de  $\mathbf{T}_{\mathbf{Q}}$  à  $\mathcal{E}_f^\varepsilon$  est

$$R_f \simeq K'_f \times K_f[X]/(X^{k-1}).$$

On note (cela servira dans la suite) qu'un vecteur propre associé à la valeur propre 0 est  $(B_{p^2}(f) - \frac{a_p}{\varepsilon(p)p^{\lambda-1}}B_p(f) + \frac{1}{\varepsilon(p)p^{\lambda-1}}f)$ .

Si  $a_p^2 = 4\varepsilon(p)p^{\lambda-1}$ , on a de même dans une base convenable l'écriture matricielle ( $M_4$ ) :

$$U_{p|E_f^\varepsilon} = \begin{pmatrix} \begin{array}{c|c} \begin{array}{cc} \frac{\overline{a_p}}{2} & 1 \\ 0 & \frac{\overline{a_p}}{2} \end{array} & \\ \hline & 0 \end{array} & \\ \hline & \begin{array}{cccccc} 0 & 1 & \cdot & \cdot & \cdot & 0 \\ \cdot & 0 & 1 & & & \cdot \\ 0 & \cdot & \cdot & \cdot & \cdot & \cdot \\ \cdot & \cdot & \cdot & \cdot & \cdot & \cdot \\ \cdot & \cdot & \cdot & \cdot & \cdot & 1 \\ 0 & \cdot & \cdot & \cdot & \cdot & 0 \end{array} \end{array} \end{pmatrix}.$$

Alors avec les notations précédentes,

$$R_f \simeq K_f[X]/(X^2) \times K_f[Y]/(Y^{k-1}).$$

Une base de  $\text{Ker}(U_p - \alpha_p \text{Id})$  est  $\{a_p f - 2\varepsilon(p)p^{\lambda-1}B_p(f)\}$ , et bien sûr le même vecteur  $(B_{p^2}(f) - \frac{a_p}{\varepsilon(p)p^{\lambda-1}}B_p(f) + \frac{1}{\varepsilon(p)p^{\lambda-1}}f)$  que précédemment engendre  $\text{Ker}(U_p)$ .

### 3.4 Cas de co-niveau quelconque.

Soit maintenant  $f \in S_\lambda(N, \varepsilon)_{\mathbf{C}}$ , qui est une newform en niveau  $M$ , avec  $N/M = n$  quelconque cette fois. On a alors  $\mathcal{B}_f = \{B_d(f), d|n\}$ . On examine

à nouveau l'action des différents opérateurs de Hecke : les opérateurs  $T_l$ ,  $l$  ne divisant pas  $N$ , et  $U_q$ ,  $q$  ne divisant pas  $n$ , agissent toujours diagonalement sur  $E_f^\varepsilon$ , comme en co-niveau premier. Soit  $q$  un premier divisant  $n$ . Notons  $m$  la valuation en  $q$  de  $n$  :  $q^m || n$ . Alors, on construit pour  $U_q$  une base qui lui est appropriée, en ordonnant partiellement la base  $\mathcal{B}_f$  ainsi : pour  $d$  parcourant les diviseurs de  $n/q^m$ , on note  $\mathcal{B}_f^{q,d} = \{B_d(f), B_{dq}(f), B_{dq^2}(f), \dots, B_{dq^m}(f)\}$ , et on écrit

$$\mathcal{B}_f^q = \{f, B_q(f), B_{q^2}(f), \dots, B_{q^m}(f), B_d(f), B_{dq}(f), B_{dq^2}(f), \dots, B_{dq^m}(f), \dots\}$$

comme la réunion sur  $d$  de ces  $\mathcal{B}_f^{q,d}$ . (Le nombre des différentes bases  $\mathcal{B}_f^{q,d}$  est  $\sigma_0(n/q^m)$  (nombre de diviseurs de  $n/q^m$ )). On déduit des relations de commutation entre les opérateurs considérés et de ce qui précède que, dans la base  $\mathcal{B}_f^q$ , on a :

$$U_q|_{E_f} = \begin{pmatrix} B_1^q & 0 & \cdots & 0 \\ 0 & B_{d_2}^q & \cdots & 0 \\ \vdots & & \ddots & \\ 0 & \cdots & \cdots & B_{d_{\sigma_0(n/q^m)}}^q \end{pmatrix},$$

où chaque  $B_d^q$ ,  $d|(n/q^m)$  est une matrice représentant la restriction de  $U_q$  à l'espace engendré par  $\mathcal{B}_f^{q,d}$  - que  $U_q$  laisse stable. La forme de  $B_d^q$  ne dépend en fait pas de  $d$ , mais uniquement de  $q$ . En effet :

Si  $q$  divise  $M$ , alors chaque  $B_d^q$  est un bloc de forme  $(M_1)$ , et on peut trouver une nouvelle base de l'espace engendré par  $\mathcal{B}_f^{q,d}$ , dans laquelle on a  $B_d^q$  équivalente si  $a_p \neq 0$  à

$$\begin{pmatrix} \begin{matrix} \lceil a_q \rceil & & & & & \\ \lfloor & & & 0 & & \end{matrix} \\ \left[ \begin{array}{cccccc} 0 & 1 & \cdot & \cdot & \cdot & 0 \\ \cdot & 0 & 1 & & & \cdot \\ \cdot & & \cdot & \cdot & & \cdot \\ \cdot & & \cdot & \cdot & \cdot & \cdot \\ \cdot & & & & \cdot & 1 \\ 0 & \cdot & \cdot & \cdot & \cdot & 0 \end{array} \right] \end{pmatrix},$$

et sinon à un bloc de Jordan nilpotent.

Si  $q$  ne divise pas  $M$ , on conclut toujours comme dans la sous-section précédente que  $B_d^q = M_2$ , équivalente si  $a_q^2 \neq 4\varepsilon(q)q^{\lambda-1}$  à  $(M_3)$ , et si  $a_q^2 = 4\varepsilon(q)q^{\lambda-1}$  à  $(M_4)$ . Maintenant, si on note  $E_f^q$  le sous-espace de  $S_\lambda(N, \varepsilon)_{\mathbf{C}}$  engendré par  $\mathcal{B}_f^{q,1} = \{f, B_q(f), B_{q^2}(f), \dots, B_{q^m}(f)\}$ , alors  $U_q$  agit comme précisé ci-dessus sur  $E_f^q$ , et on peut considérer  $E_f^\varepsilon$  comme le produit tensoriel sur  $\mathbf{C}$  :

$$E_f^{q_1} \otimes E_f^{q_2} \otimes \cdots \otimes E_f^{q_m},$$

où les  $q_i$  sont les nombres premiers divisant  $n$ . Et  $S_\lambda(N, \varepsilon)_{\mathbf{C}}$ , à son tour, est la somme directe des tels  $E_f^\varepsilon$ .

On résume tout ça :

**Théorème 3.5** *L'entier naturel  $N$  est quelconque.*

*L'algèbre de Hecke  $\mathbf{T}_{\mathbf{Q}}$ , vue comme sous-algèbre des endomorphismes de  $\mathbf{Q}$ -espace vectoriel de  $S_\lambda(\Gamma_1(N))_{\mathbf{Q}}$ , s'écrit comme un produit d'anneaux :*

$$\mathbf{T}_{\mathbf{Q}} = R_{f_1} \times R_{f_2} \times \cdots \times R_{f_k},$$

où chacun de ces  $R_{f_i}$  correspond à l'orbite sous Galois d'une newform  $f_i$  en niveau  $M_i$  divisant  $N$ , et caractère  $\varepsilon$ .

Plus précisément, le facteur  $R_{f_i}$  est la restriction de  $\mathbf{T}_{\mathbf{Q}}$  au sous-espace  $\mathcal{E}_{f_i}$  de  $S_\lambda(\Gamma_1(N))_{\mathbf{Q}}$ , qui est engendré sur  $\mathbf{Q}$  par les orbites sous Galois des  $B_d(f_i)$ ,  $d$  parcourant les diviseurs de  $N/M_i$ .

Si  $K_{f_i}$  désigne le corps de nombres engendré par les coefficients  $a_n$  du développement de Fourier de  $f_i$  à l'infini, l'idéal  $R_{f_i}$  est de forme un produit tensoriel d'anneaux des quatre types suivants :

- $K_{f_i}[X]/(X^n)$  ;
  - $K_{f_i} \times K_{f_i}[X]/(X^n)$  ;
  - $K_{f_i}[X]/(X^2 - a_q X + \varepsilon(q)q^{\lambda-1}) \times K_{f_i}[Y]/(Y^n)$  ;
- ou encore :
- $K_{f_i}[X]/(X^2) \times K_{f_i}[Y]/(Y^n)$ .

Notons un corollaire partiel de ce théorème qui nous servira dans la suite :

**Corollaire 3.6** *Soit  $A$  une algèbre de dimension finie sur un corps  $K$ , et qui a un unique idéal minimal non trivial ; alors  $A$  est de Gorenstein, i.e. son dual en tant que  $K$ -espace vectoriel,  $A^\vee$ , est un  $A$ -module libre de rang 1. En particulier, l'algèbre de Hecke sur  $\mathbf{Q}$  (pour  $\Gamma_1$ , en niveau et poids quelconques)  $\mathbf{T}_{\mathbf{Q}}$ , est de Gorenstein.*

**Preuve.** Soit  $A$  une algèbre comme dans l'énoncé. Son idéal minimal est par définition principal, engendré par n'importe lequel de ses éléments non nuls. Soit  $g$  l'un de ceux-là. Il existe un élément  $L$  de  $A^\vee$  qui ne s'annule pas en  $g$ . On en déduit donc que le noyau de l'application linéaire :

$$\begin{cases} A & \rightarrow & A^\vee \\ a & \mapsto & (x \mapsto L(a.x)) \end{cases}$$

est un idéal trivial de  $A$ , puisqu'il ne contient pas l'idéal minimal. Donc cette application est injective, et en fait bijective puisque les deux espaces  $A$  et  $A^\vee$  ont même dimension.

Pour ce qui est de  $\mathbf{T}_{\mathbf{Q}}$ , le théorème précédent dit qu'elle se décompose en produits d'anneaux de la forme  $K[X_1, X_2, \dots, X_n]/(X_1^{m_1} X_2^{m_2} \dots X_n^{m_n})$ , où  $K$  est un corps de nombres (en effet, chaque  $A_{f_i}$  se décompose encore ainsi). Puisque  $K[X_1, X_2, \dots, X_n]/(X_1^{m_1} X_2^{m_2} \dots X_n^{m_n})$  possède un seul idéal minimal, et puisque la propriété d'être de Gorenstein est clairement stable par somme directe finie, on peut appliquer la première partie de la proposition.  $\square$

Montrons aussi un résultat dont on se sert dans la sous-section suivante (et qui sera redémontré en partie en 4.7 grâce à 3.6) :

**Proposition 3.7** *Pour tous niveau  $N$  et poids  $\lambda$ ,  $S_\lambda(\Gamma_1(N))_{\mathbf{Q}}$  est un  $\mathbf{T}_{\mathbf{Q}}$ -module libre de rang 1.*

**Preuve.** On a un accouplement parfait  $[\ , \ ]$ ,  $\mathbf{C}$ -bilinéaire :

$$\begin{cases} S_\lambda(\Gamma_1(N))_{\mathbf{C}} \times \mathbf{T}_{\mathbf{C}} & \rightarrow \mathbf{C} \\ (f = \sum_{n \geq 1} a_n q^n, T) & \mapsto a_1(Tf), \end{cases}$$

qui est défini sur  $\mathbf{Q}$ , pour lequel tout opérateur de l'algèbre de Hecke est auto-adjoint. Maintenant, notons  $\langle \ , \ \rangle_{\mathbf{P}}$  le produit scalaire de Petersson. Appelons  $\sigma$  l'involution sur  $S_\lambda(\Gamma_1(N))_{\mathbf{C}}$  définie par l'opération de conjugaison complexe des coefficients de Fourier en l'infini d'une forme parabolique. Rappelons aussi l'opérateur (classique)  $W_N$ , dont l'opération sur  $S_\lambda(\Gamma_1(N))_{\mathbf{C}}$  est définie par  $W_N(f(z)) = N^{-\lambda/2} z^{-\lambda} f(-1/Nz)$ ; il vérifie  $W_N^2 = (-1)^\lambda$ , et l'adjoint pour le produit scalaire de Petersson de tout opérateur de Hecke  $T_n$  est  $W_N T_n W_N^{-1}$  (de même, l'adjoint de l'opérateur diamant  $\langle n \rangle$  pour  $n$  premier à  $N$  est  $W_N \langle n \rangle W_N^{-1}$ ) (voir par exemple [Diamond-Im], I.4). Considérons alors l'altération suivante :  $(f, g) \rightarrow \{f, g\} = \langle f, \sigma \circ W_N(g) \rangle_{\mathbf{P}}$  du produit scalaire de Petersson, c'est-à-dire :

$$\begin{cases} S_\lambda(\Gamma_1(N))_{\mathbf{C}} \times S_\lambda(\Gamma_1(N))_{\mathbf{C}} & \rightarrow \mathbf{C} \\ (f, g) & \mapsto \int_{\Delta} (\sum_{n \geq 1} a_n q^n) W_N(\sum_{n \geq 1} b_n \bar{q}^n) y^\lambda \frac{dx dy}{y^2}, \end{cases}$$

où  $(\sum_{n \geq 1} a_n q^n)$  et  $(\sum_{n \geq 1} b_n \bar{q}^n)$  sont les développements de Fourier de  $f$  et  $g$  respectivement en l'infini, et  $\Delta$  est un domaine fondamental du quotient du demi-plan de Poincaré par  $\Gamma_1(N)$ . Par construction, ce produit est  $\mathbf{C}$ -bilinéaire, et pour lui également l'algèbre de Hecke est auto-adjointe. Les deux accouplements  $[\ , \ ]$  et  $\{ \ , \ }$  présentent donc respectivement  $\mathbf{T}_{\mathbf{C}}$  et  $S_\lambda(\Gamma_1(N))_{\mathbf{C}}$  comme les deux comme  $\mathbf{C}$ -espaces de  $S_\lambda(\Gamma_1(N))_{\mathbf{C}}$ , ce qui donne un isomorphisme de  $\mathbf{C}$ -espaces vectoriels entre eux. Mais l'auto-adjonction de  $\mathbf{T}_{\mathbf{C}}$  pour les deux montre que cette application est aussi un morphisme de  $\mathbf{T}_{\mathbf{C}}$ -module, donc que  $S_\lambda(\Gamma_1(N))_{\mathbf{C}}$  est un  $\mathbf{T}_{\mathbf{C}}$ -module libre de rang 1. Enfin, que ceci soit vrai sur  $\mathbf{Q}$  est une conséquence du résultat de géométrie algébrique élémentaire suivant : si  $k$  est un corps infini dont  $K$  est une extension, si  $R$  est une  $k$ -algèbre et  $M$  un  $R$ -module qui est un  $k$ -espace vectoriel de dimension finie, et tel que  $M \otimes_k K$  soit un  $R \otimes_k K$ -module libre de rang 1, alors  $M$  est soi-même un  $R$ -module libre de rang 1. Ce résultat se montre comme suit. Choisissons des éléments  $r_i$  de  $R$ ,  $1 \leq i \leq \dim_k M$ , tel que les  $r_i \cdot y$  forment une  $K$ -base de  $M \otimes_k K$  pour un  $y$  de  $M \otimes_k K$ . La fonction  $f$  qui à tout élément  $x$  de  $M$  associe le déterminant de  $(r_i \cdot x)$  est polynômiale en les coordonnées de  $x$  dans une  $k$ -base de  $M$ , et n'est pas nulle sur  $M \otimes_k K$ . Ce qui veut dire que le polynôme correspondant est non nul, et comme  $k$  est infini, on a bijection entre polynômes et fonctions polynômiales sur  $M$  : donc  $f$  ne peut être uniformément nulle sur  $M$ , et  $M$  est un  $R$ -module de rang 1. Qu'enfin  $M$  soit  $R$ -libre provient de sa  $R \otimes_k K$ -fidélité après extension des scalaires à  $K$ .  $\square$

### 3.8 Finitude du quotient d'enroulement.

On la démontre en niveau quelconque, avec les résultats qui précèdent appliqués au cas de poids  $\lambda$  égal à 2, le caractère  $\varepsilon$  étant trivial. Soit  $N$  un

entier ; on considère la courbe modulaire  $X_0(N)_{\mathbf{Q}}$  et sa jacobienne  $J_0(N)_{\mathbf{Q}}$  sur  $\mathbf{Q}$ . On rappelle les notations de l'introduction, dans ce cadre plus général :  $e$  désigne l'élément d'enroulement, c'est-à-dire l'élément de  $H_1(X_0(N); \mathbf{Q})$  défini par l'intégration entre zéro et l'infini sur notre courbe modulaire ;  $\mathcal{A}_e$  désigne l'idéal d'enroulement, c'est-à-dire l'idéal annulateur dans  $\mathbf{T}_{\mathbf{Z}}$  de  $e$ . Notons aussi  $\mathcal{A}_{e, \mathbf{Q}} = \mathcal{A}_e \otimes_{\mathbf{Z}} \mathbf{Q}$ . Le quotient d'enroulement  $J_0^e$  est la variété abélienne quotient  $J_0(N)/\mathcal{A}_e J_0(N)$ .

**Théorème 3.9**  $J_0^e(\mathbf{Q})$  est fini.

**Preuve.** Notons d'abord  $S_2(N)_{\mathbf{Q}}$  le  $\mathbf{Q}$ -espace des formes paraboliques de poids deux pour  $\Gamma_0(N)$  à coefficients dans  $\mathbf{Q}$ , et  $\text{Cot}_0(J_0(N)_{\mathbf{Q}})$  l'espace cotangent à  $J_0(N)_{\mathbf{Q}}$  en zéro ; on a les identifications suivantes :

$$S_2(N)_{\mathbf{Q}} \simeq H^0(X_0(N)_{\mathbf{Q}}, \Omega^1) \simeq H^0(J_0(N)_{\mathbf{Q}}, \Omega^1) \simeq \text{Cot}_0(J_0(N)_{\mathbf{Q}}),$$

et  $S_2(N)_{\mathbf{Q}}$  est un  $\mathbf{T} \otimes_{\mathbf{Z}} \mathbf{Q}$ -module libre de rang 1 (3.7, ou la proposition 4.7 de la section suivante).

L'algèbre de Hecke à coefficients dans  $\mathbf{Q}$  s'écrit donc comme on l'a explicité plus haut, *i.e.* comme un produit d'anneaux (ou comme une somme directe d'idéaux)  $R_f$ , correspondants aux restrictions de  $\mathbf{T}_{\mathbf{Q}}$  aux orbites sous l'action du groupe de Galois des newforms  $f$  de niveau  $M$  divisant  $N$ .

D'après le théorème d'Atkin-Lehner (théorème 3.2), si on note  $S_2(M)_{\mathbf{C}}^{\text{new}}$  le sous- $\mathbf{C}$ -espace de  $S_2(M)_{\mathbf{C}}$  engendré par les *newforms* de niveau  $M$ , on a en faisant la somme directe des opérateurs  $B_d$  convenables un isomorphisme de  $\mathbf{C}$ -espaces vectoriels :

$$\bigoplus_{M|N} \bigoplus_{d|(N/M)} S_2(M)_{\mathbf{C}}^{\text{new}} \xrightarrow{\sim} S_2(N)_{\mathbf{C}}.$$

Grâce à l'interprétation en termes d'espaces cotangents des espaces de formes paraboliques, on déduit des opérateurs  $B_d$  des isogénies  $J_0(M)_{\mathbf{Q}} \xrightarrow{B_d^*} J_0(N)_{\mathbf{Q}}$  (les opérateurs  $B_d$  sont définis sur  $\mathbf{Q}$ ), et pour tout  $M$  on définit  $J_0(M)_{\text{new}} := J_0(M)/(\sum_{d|M} \text{Im}(B_d^*))$ . On déduit alors de l'isomorphisme précédent (entre espaces de formes paraboliques) l'isogénie :

$$J_0(N)_{\mathbf{Q}} \rightarrow \bigoplus_{M|N} \bigoplus_{d|(N/M)} J_0(M)_{\mathbf{Q}, \text{new}}.$$

On a, encore et toujours selon la décomposition d'Atkin-Lehner, des isogénies  $J_0(M)_{\mathbf{Q}, \text{new}} \rightarrow \bigoplus_{G_{\mathbf{Q}} f} J_f$ , où la somme est prise sur les orbites sous Galois  $G_{\mathbf{Q}} f$  des newforms  $f$  en niveau  $M$ , et  $J_f$  est la variété abélienne "découpée" dans  $J_0(M)_{\mathbf{Q}}$  avec la forme  $f$  : avec les notations de 3.5, l'annulateur  $\text{Ann}_{\mathbf{T}_{\mathbf{Q}}} f$  de  $f$  dans  $\mathbf{T}_{\mathbf{Q}}$  est  $R^f := \bigoplus_{g \neq f} R_g$ , donc  $J_f$  est isogène à  $J_0(M)_{\mathbf{Q}}/R^f J_0(M)_{\mathbf{Q}}$ . On a donc pour finir l'isogénie :

$$J_0(N)_{\mathbf{Q}} \rightarrow \bigoplus_{G_{\mathbf{Q}} f} (J_f)^{\sigma_0(N/M)},$$

où la somme est prise sur les orbites sous l'action de Galois de toutes les newforms en niveaux  $M$  divisant  $N$ .

L'accouplement bilinéaire :

$$\begin{cases} H_1(X_0(N); \mathbf{Q}) \times S_2(N)_{\mathbf{C}} & \rightarrow \mathbf{C} \\ (c, f) & \mapsto \langle c, f \rangle = \int_c f(z) dz \end{cases}$$

est non dégénéré, et pour lui les opérateurs de Hecke sont auto-adjoints.

On va d'abord prouver :

**Lemme 3.10** *Soit  $f$  une newform en niveau  $M$  divisant  $N$  tel que  $\langle e, f \rangle \neq 0$ . Alors  $\mathcal{A}_e \cap R_f = \{0\}$ .*

**Preuve du lemme.** Calculons l'effet de  $B_D$  ( $D$  entier quelconque) sur l'accouplement :

$$\langle e, B_D(f) \rangle = \int_e f(D.z) dz = i \int_0^\infty f(iDz) dz = \frac{i}{D} \int_0^\infty f(iz) dz = \frac{1}{D} \langle e, f \rangle.$$

Avant de faire des calculs explicites, expliquons l'idée de la preuve. On a vu que  $S_2(N)_{\mathbf{Q}}$  était un  $\mathbf{T}_{\mathbf{Q}}$ -module libre de rang 1 : comme tel, selon le théorème 3.5, il est isomorphe à un produit de  $\mathbf{Q}$ -espaces vectoriels de type  $K[X_1, \dots, X_n]/(X_1^{m_1} \dots X_n^{m_n})$ , sur lesquels la restriction de  $\mathbf{T}_{\mathbf{Q}}$  a la même forme, et agit par simple multiplication. Si donc on prend un élément  $t = \sum_j \lambda_j X_1^{m_1^j} X_2^{m_2^j} \dots X_n^{m_n^j}$  de la "partie"  $K[X_1, \dots, X_n]/(X_1^{m_1} \dots X_n^{m_n})$  de  $\mathbf{T}_{\mathbf{Q}} \cap \mathcal{A}_e$ , en le multipliant par des monômes judicieux de  $K[X_1, \dots, X_n]/(X_1^{m_1} \dots X_n^{m_n})$  (vu cette fois comme le sous-espace des formes modulaires sur lequel  $t$  agit), on aura que l'accouplement de  $e$  avec des monômes de type  $\lambda_j X_1^{\alpha_1} \dots X_n^{\alpha_n}$  sera nul, pour tous les  $\lambda_j$ . Mais de tels monômes correspondront à des "décalages" par des opérateurs  $B_d$  de notre newform originelle  $f$ , décalages qui, comme le montre l'intégration par partie ci-dessus, ne font que multiplier le produit  $\langle e, f \rangle$  par des constantes non nulles. On déduira donc de la non nullité de ce produit  $\langle e, f \rangle$  que tous les coefficients  $\lambda_j$  sont nuls, et donc  $t$ .

Écrivons-le maintenant précisément. Soit  $t$  élément de  $R_f$ . On a les équivalences suivantes :

$$(t.e = 0) \Leftrightarrow (\forall g \in S_2(N)_{\mathbf{C}}, \langle t.e, g \rangle = 0) \Leftrightarrow (\forall g \in \mathcal{B}_f, \langle e, t.g \rangle = 0).$$

Supposons de plus  $t$  dans  $\mathcal{A}_e$ . On décompose  $E_f$  comme somme directe des intersections des sous-espaces caractéristiques des opérateurs  $U_q$  pour  $q$  divisant  $N$ . Considérons la restriction  $\tilde{t}$  de  $t$  à l'un de ces sous-espaces,  $\tilde{E}_f$ . On écrit  $\tilde{t}$  comme un polynôme en les  $U_q$ , pour  $q$  divisant  $N$ , à coefficients dans  $\mathbf{Q}[T_l, \dots]$  ( $l$  ne divisant pas  $N$ ), c'est-à-dire à coefficients dans (un corps isomorphe à)  $K_f$ . On peut ne considérer que les  $U_q$  qui n'agissent pas diagonalement sur  $\tilde{E}_f$ . Si on note  $\alpha_q$  la valeur propre de  $U_q$  sur  $\tilde{E}_f$ , alors  $u_q := (U_q - \alpha_q \text{Id})|_{\tilde{E}_f}$  est nilpotent.

On écrit donc  $\tilde{t}$  sous forme d'un polynôme :

$$\tilde{t} = \sum_{j \geq 0} \lambda_j u_{q_1}^{\alpha_1^j} u_{q_2}^{\alpha_2^j} \dots u_{q_m}^{\alpha_m^j},$$

où les multi-indices  $\alpha_k^j$  sont ordonnés par exemple de façon lexicographique ( $j < j'$  si  $\alpha_s^j < \alpha_s^{j'}$ , où  $s := \inf\{r \text{ tel que } \alpha_r^j \neq \alpha_r^{j'}\}$ ).

D'après la réduction de Jordan de la partie précédente, il existe des polynômes en  $B_{q_j} : P_j(B_{q_j})$ , et un élément :

$$g_1 := [P_1(B_{q_1}) \otimes P_2(B_{q_2}) \otimes \dots \otimes P_m(B_{q_m})](f) \in S_2(N)_{\mathbf{C}},$$

tel que  $u_{q_j}^{\alpha_j^1}(P_j(B_{q_j})(f)) =: \mathcal{P}_j(B_{q_j}(f)) \neq 0$  et  $u_{q_j}^{\alpha_j^1+1}(P_j(B_{q_j})(f)) = 0$ . Pour être plus explicite,  $\mathcal{P}_j(B_{q_j}(f))$  a l'une des quatre formes suivantes :

1.  $(f)$  si on est sur l'espace caractéristique associé à 0 et  $q_j^2|M$  ;
2.  $(B_{q_j}(f) - a_{q_j}f)$  si on est sur l'espace caractéristique associé à 0 et  $q_j||M$  ;
3.  $(B_{q_j}^2(f) - (a_{q_j}/q_j)B_{q_j}(f) + (1/q_j)f)$  si on est sur l'espace caractéristique associé à 0 et  $q_j$  ne divise pas  $M$  ;
4.  $(-q_jB_{q_j}(f) + \alpha_{q_j}f)$  si  $q_j$  ne divise pas  $M$  et on est sur le sous-espace  $\text{Ker}(U_{q_j}^2 - a_{q_j}U_{q_j} + q_j) = \text{Ker}(U_{q_j} - \alpha_{q_j}\text{Id})^2$ .

Alors

$$\begin{aligned} 0 = \langle e, t.g_1 \rangle &= \lambda_1 \int_0^{i\infty} \prod_{j=1}^m \mathcal{P}_j(B_{q_j}(f)) dz = \lambda_1 \prod_{j=1}^m \mathcal{P}_j\left(\frac{1}{q_j}\right) \int_0^{i\infty} f dz \\ &= \lambda_1 \prod_{j=1}^m \mathcal{P}_j\left(\frac{1}{q_j}\right) \langle e, f \rangle ; \end{aligned}$$

or aucun des facteurs  $\mathcal{P}_j(\frac{1}{q_j})$  n'est nul, puisque respectivement de forme :

1. 1,
2.  $(1/q_j - a_{q_j}) = (1/q_j \pm 1)$ ,
3.  $(1/q_j^2 - a_{q_j}/q_j^2 + 1/q_j) = (1/q_j^2)(q_j + 1 - a_{q_j})$ , ou encore :
4.  $(\alpha_{q_j} - 1) = (\pm\sqrt{q_j} - 1)$ .

(La seule non-nullité qui ne soit pas triviale est la troisième : c'est la borne de Weil ( $|a_{q_j}| \leq 2\sqrt{q_j}$ ) qui la montre.) Donc  $\lambda_1$  est nul, et en recommençant la même opération, par récurrence tous les  $\lambda_j$  sont nuls - donc  $\tilde{t}$  l'est aussi. Ceci étant vrai pour toutes les restrictions  $\tilde{t}$  de  $t$  aux intersections de sous-espaces caractéristiques,  $t$  est lui-même nul.  $\square$

**Fin de la preuve du théorème.** On a montré que si  $\langle e, f \rangle \neq 0$ ,  $\mathcal{A}_{e,\mathbf{Q}} \cap R_f = 0$ , et réciproquement il est évident que si  $\langle e, f \rangle = 0$  alors  $\mathcal{A}_{e,\mathbf{Q}} \cap R_f = R_f$ . Comme  $L(f, 1) = 2\pi\langle e, f \rangle$ , on peut donc écrire :

$$\mathcal{A}_{e,\mathbf{Q}} = \bigoplus_{G_{\mathbf{Q}}f/L(f,1)=0} R_f ,$$

et on a des isogénies :

$$\begin{aligned} J_0^e(\mathbf{Q}) = (J_0(N)/\mathcal{A}_e J_0(N))(\mathbf{Q}) &\rightarrow \prod_{R_f \notin \mathcal{A}_{e,\mathbf{Q}}} (J_0(N)/(R_f)J_0(N))(\mathbf{Q}) \rightarrow \\ &\rightarrow \prod_{G_{\mathbf{Q}}f/L(f,1) \neq 0} J_f(\mathbf{Q}). \end{aligned}$$

Selon le théorème de Kolyvagin-Logachev, les  $J_f(\mathbf{Q})$  ci-dessus sont finies (à cause justement de la non-nullité en 1 de la fonction  $L(f, s)$ , voir le théorème 0.3 de [Kolyvagin-Logachev 90], complété par des résultats de [Murty-Murty 91] ou [Bump-Friedberg-Hoffstein 90]). Et donc le quotient d'enroulement est bien de rang nul.  $\square$

## 4 Espaces tangents et cotangents.

### 4.1 Espace tangent à $J_0(N)_{/\mathbf{Z}[1/N]}$ en zéro.

Soit  $N$  un entier, fixé pour toute cette partie. On montre dans cette sous-section :

**Théorème 4.2** *L'espace tangent à  $J_0(N)_{/\mathbf{Z}[1/N]}$  en zéro,  $\mathrm{Tan}_0(J_0(N)_{/\mathbf{Z}[1/N]})$ , est un  $\mathbf{T}_{\mathbf{Z}} \otimes \mathbf{Z}[1/N]$ -module libre de rang 1, de base  $\frac{d}{dq}|_0$ .*

On va donner quatre lemmes préliminaires, desquels le théorème découlera naturellement. Dans ce qui suit, pour alléger les notations, on notera  $M$  le module  $\mathrm{Tan}_0(J_0(N)_{/\mathbf{Z}[1/N]})$ , et  $R$  l'anneau  $\mathbf{T}_{\mathbf{Z}} \otimes \mathbf{Z}[1/N]$ , qui est un  $\mathbf{Z}[1/N]$ -module libre de type fini ( $\mathbf{T}_{\mathbf{Z}}$  l'est sur  $\mathbf{Z}$ , puisqu'on peut le voir comme un sous-module des endomorphismes de  $J_0(N)_{/\mathbf{Z}}$ ).

**Lemme 4.3** *Le  $R$ -module  $M$  est fidèle.*

**Preuve.** Comme ni  $R$  ni  $M$  n'ont de  $\mathbf{Z}[1/N]$ -torsion, on peut voir le lemme en étendant les scalaires à  $\mathbf{Q}$ , et en remarquant qu'alors, le dual de  $M \otimes \mathbf{Q}$  (comme  $\mathbf{Q}$ -espace vectoriel), qui est  $\mathrm{Cot}_0(J_0(N)_{/\mathbf{Q}})$ , est bien  $\mathbf{T} \otimes \mathbf{Q}$ -fidèle, comme on le voit dans la partie précédente.  $\square$

**Lemme 4.4** *Pour tout idéal maximal  $\mathcal{M}$  de  $R$ , on a  $M/\mathcal{M}M \neq 0$ .*

**Preuve.** Supposons qu'il existe un idéal maximal  $\mathcal{M}$  tel que  $M/\mathcal{M}M = 0$ . Puisque  $M$  est un  $R$ -module fini, le faisceau associé  $\tilde{M}$  sur le schéma affine noethérien  $X := \mathrm{Spec}(R)$  est cohérent ; notons  $x$  le point correspondant à  $\mathcal{M}$ . On a :

$$M/\mathcal{M}M = M \otimes_R R/\mathcal{M} = M \otimes_R R_{\mathcal{M}}/\mathcal{M}R_{\mathcal{M}} = M_{\mathcal{M}}/\mathcal{M}M_{\mathcal{M}},$$

donc le lemme de Nakayama dit que  $M_{\mathcal{M}} = 0$ . Si  $g$  est un point générique de  $X$  (correspondant à l'idéal  $\mathcal{P}$  de  $R$ ) qui se spécialise en  $x$ , on a  $\tilde{M}_g = 0$  (comme localisation de  $\tilde{M}_x$ ). Puisque  $R$  est sans  $\mathbf{Z}$ -torsion,  $g$  est au-dessus du point générique de  $\mathbf{Z}[1/N]$  ; et puisque c'est un  $\mathbf{Z}[1/N]$ -module de type fini,  $\mathrm{Spec}(R \otimes_{\mathbf{Z}[1/2N]} \mathbf{Q})$  est de dimension nulle. On a donc  $R \otimes \mathbf{Q} \simeq \prod_{\mathcal{Q}} R_{\mathcal{Q}}$ , où le produit (fini) est pris sur les idéaux minimaux  $\mathcal{Q}$  de  $R$  : ce qui veut dire que  $R_{\mathcal{P}}$  est isomorphe à un facteur de  $R \otimes_{\mathbf{Z}[1/N]} \mathbf{Q}$ . Mais alors la fidélité de  $M$  comme  $R$ -module contredit le fait que  $\tilde{M}_g = 0$ .  $\square$

**Lemme 4.5** *Pour tout idéal maximal  $\mathcal{M}$  de  $R$ , l'élément  $\frac{d}{dq}|_0$  de  $M$  est d'image non nulle dans le quotient  $M/\mathcal{M}M$ .*

**Preuve.** Soit  $\mathcal{M}$  un idéal maximal de  $R$ . De la finitude comme  $\mathbf{Z}$ -module de  $\mathbf{T}_{\mathbf{Z}}$  on déduit d'abord que le sous corps premier de  $F := R/\mathcal{M}$  est nécessairement fini,  $\mathbf{F}_l$ , et que  $F$  en est une extension finie. Posons  $\overline{R} := R \otimes_{\mathbf{Z}} \overline{\mathbf{F}}_l$ , et  $\overline{M} := M \otimes_{\mathbf{Z}} \overline{\mathbf{F}}_l$ . On a la suite exacte :  $\mathcal{M} \otimes_{\mathbf{Z}} \overline{\mathbf{F}}_l \rightarrow \overline{R} \rightarrow F \otimes_{\mathbf{Z}} \overline{\mathbf{F}}_l \rightarrow 0$ . Choisissons un plongement  $i : F \hookrightarrow \overline{\mathbf{F}}_l$ , et déduisons-en un morphisme de  $\overline{\mathbf{F}}_l$ -algèbre :

$$i \otimes 1 : F \otimes_{\mathbf{F}_l} \overline{\mathbf{F}}_l \rightarrow \overline{\mathbf{F}}_l.$$

Notons  $\overline{\mathcal{M}}$  son noyau : on a la suite exacte  $0 \rightarrow \overline{\mathcal{M}} \rightarrow \overline{R} \rightarrow \overline{\mathbf{F}}_l \rightarrow 0$ . On vérifie alors qu'on a :

$$\frac{d}{dq}|_0 \mapsto (M/\mathcal{M}M) \hookrightarrow (M/\mathcal{M}M) \otimes_F \overline{\mathbf{F}}_l \simeq \overline{M}/\overline{\mathcal{M}}\overline{M}.$$

Si  $E$  est un  $\overline{\mathbf{F}}_l$ -espace vectoriel, notons  $E^\vee$  son dual, et désignons par  $\overline{M}^\vee[\overline{\mathcal{M}}]$  le sous- $\overline{R}$ -module de  $\overline{M}^\vee$  tué par  $\overline{\mathcal{M}}$ . Avec ces notations,

$$(\overline{M}/\overline{\mathcal{M}}\overline{M})^\vee \simeq \overline{M}^\vee[\overline{\mathcal{M}}]$$

en tant que  $\overline{R}$ -modules. (En effet, les formes  $\overline{\mathbf{F}}_l$ -linéaires sur l'espace vectoriel quotient  $(\overline{M}/\overline{\mathcal{M}}\overline{M})^\vee$  s'identifient avec celles sur  $\overline{M}^\vee$  dont le noyau contient  $\overline{\mathcal{M}}\overline{M}$ , et l'action de  $\overline{R}$ -module que l'on considère est :  $(t.f)(\ ) = f(t.\ )$ , ( $t \in \overline{R}$ ,  $f \in \overline{M}^\vee$ .) On a donc enfin :

$$\overline{M}^\vee[\overline{\mathcal{M}}] = H^0(X_0(N)_{\overline{\mathbf{F}}_l}, \Omega^1)[\overline{\mathcal{M}}] \simeq S_2(N)_{\overline{\mathbf{F}}_l}[\overline{\mathcal{M}}].$$

On a montré dans le lemme précédent que  $M/\mathcal{M}M$  était non nul : soit donc  $f$  une forme parabolique non nulle appartenant à  $S_2(N)_{\overline{\mathbf{F}}_l}[\overline{\mathcal{M}}]$ . Le corollaire III, 12.9 de [Hartshorne] assure que  $H^0(X_0(N)_{\overline{\mathbf{F}}_l}, \Omega^1) = H^0(X_0(N)_{\mathbf{Z}[1/N]}, \Omega^1) \otimes \overline{\mathbf{F}}_l$ , ce qui implique que, quitte à prendre un relèvement de  $f$ , on peut supposer qu'on est en caractéristique nulle, et même dans  $S_2(N)_{\mathbf{C}}$  : pour voir que les coefficients de  $f$  vérifient la relation :

$$a_1(T_n.f) = a_n(f)$$

même si  $f$  n'est pas une newform (cela résulte par exemple de la formule (3.5.12) de [Shimura]). On en déduit que pour tout entier  $n$ ,  $\frac{d}{dq}|_0(T_n.f) = a_n(f)$ . Mais puisque  $X_0(N)_{\overline{\mathbf{F}}_l}$  est intègre et lisse, ses formes différentielles sont définies par leur développement de Fourier en l'infini : donc  $\frac{d}{dq}|_0$  ne peut être d'image nulle.  $\square$

**Lemme 4.6** *Pour tout idéal maximal  $\mathcal{M}$  de  $R$ ,  $M/\mathcal{M}M$  est un  $R/\mathcal{M}$ -module libre de rang 1, de base l'image de  $\frac{d}{dq}|_0$ .*

**Preuve.** Les résultats précédents montrent qu'il suffit maintenant de prouver que  $\dim_{R/\mathcal{M}}(M/\mathcal{M}M) \leq 1$ . Si  $(l)$  est l'idéal premier de  $\mathbf{Z}$  au-dessus duquel  $\mathcal{M}$  se trouve, choisissons comme dans la preuve du précédent lemme un plongement de  $F = R/\mathcal{M}$  dans  $\overline{\mathbf{F}}_l$ . Toujours selon la preuve précédente et avec les mêmes notations, on a les équivalences :

$$\begin{aligned} ((M/\mathcal{M}M) \text{ est un } F\text{-espace vectoriel de dimension } 1) \\ \Leftrightarrow \\ ((M/\mathcal{M}M) \otimes_F \overline{\mathbf{F}}_l \text{ est un } \overline{\mathbf{F}}_l\text{-espace vectoriel de dimension } 1) \\ \Leftrightarrow \\ ((\overline{M}/\overline{\mathcal{M}}\overline{M}) \text{ est un } \overline{\mathbf{F}}_l\text{-espace vectoriel de dimension } 1) \\ \Leftrightarrow \\ (\overline{M}^\vee[\overline{\mathcal{M}}] \text{ est un } \overline{\mathbf{F}}_l\text{-espace vectoriel de dimension } 1). \end{aligned}$$

Pour tout entier  $n$ , soit  $a_n$  l'image dans  $\overline{R}/\overline{\mathcal{M}} \simeq \overline{\mathbf{F}}_l$  de l'opérateur de Hecke  $T_n$ . Soit  $f$  un élément non nul de  $H^0(X_0(N)_{\overline{\mathbf{F}}_l}, \Omega^1)[\overline{\mathcal{M}}]$  ;  $f$  est une forme propre

pour les opérateurs de Hecke : pour tout  $n$ ,  $T_n(f) = a_n f$ . À une constante multiplicative non nulle près, le développement de Fourier de  $f$  en l'infini est donc :  $q + a_2 q^2 + a_3 q^3 + \dots$ . De même que plus haut, on déduit du fait que  $X_0(N)_{\overline{\mathbf{F}}_l}$  soit intègre et lisse que toute forme différentielle sur  $X_0(N)_{\overline{\mathbf{F}}_l}$  est définie par son  $q$ -développement en l'infini ; donc  $f$  engendre l'espace vectoriel  $S_2(N)_{\overline{\mathbf{F}}_l}$ .  $\square$

**Preuve du théorème.** Montrons que le module  $M' := M/(R.(\frac{d}{dq})|_0)$  est nul. D'après le lemme précédent, pour tout idéal maximal  $\mathcal{M}$  de  $R$ ,

$$M'/\mathcal{M}M' = M' \otimes_R R_{\mathcal{M}}/\mathcal{M}R_{\mathcal{M}} = 0 ;$$

donc par le lemme de Nakayama,  $M'_{\mathcal{M}}$  est nul. On peut alors appliquer le raisonnement de la preuve du lemme 4.4, et en conclure que le faisceau  $\tilde{M}'$  sur  $\text{Spec}(R)$  est de fibre nulle en chaque point, donc nul. Enfin,  $M$  est un  $R$ -module libre puisque fidèle.  $\square$

Notons au passage un corollaire de ce dernier théorème (voir aussi 3.7) :

**Proposition 4.7** *L'espace des formes paraboliques  $S_2(N)_{\mathbf{Q}}$  est un  $\mathbf{T}_{\mathbf{Q}}$ -module libre de rang 1.*

**Preuve.** Une application du corollaire 3.6 du chapitre précédent donne que la  $\mathbf{Q}$ -algèbre de Hecke  $\mathbf{T}_{\mathbf{Q}}$  (pour  $\Gamma_0(N)$ , en poids 2) est de Gorenstein. De plus, on vient de montrer que  $\text{Tan}_0(J_0(N)_{\mathbf{Q}})$  était comme  $\mathbf{T}_{\mathbf{Q}}$ -module isomorphe à  $\mathbf{T}_{\mathbf{Q}}$  lui-même ; et comme  $\text{Cot}_0(J_0(N)_{\mathbf{Q}}) = \text{Tan}_0(J_0(N)_{\mathbf{Q}})^{\vee}$ ,  $\text{Cot}_0(J_0(N)_{\mathbf{Q}})$  est isomorphe à  $\mathbf{T}_{\mathbf{Q}}$  soi-même comme  $\mathbf{T}_{\mathbf{Q}}$ -module.  $\square$

## 4.8 Espace tangent au quotient de la jacobienne.

Soit  $I$  un idéal de  $\mathbf{T}_{\mathbf{Z}}$ , saturé (*i.e.* tel que  $\mathbf{T}/I$  soit sans  $\mathbf{Z}$ -torsion). On déduit de la jacobienne  $J_0(N)$  sur  $\mathbf{Z}[1/2N]$  les schémas abéliens  $J^I := I.J_0(N)$  et  $J_I := J_0(N)/I.J_0(N)$ . Le but de cette section est de démontrer le théorème suivant, voisin et corollaire de la celui de la section précédente :

**Théorème 4.9** *L'espace tangent à  $J_{I, \mathbf{Z}[1/2N]}$  en zéro,  $\text{Tan}_0(J_{I, \mathbf{Z}[1/2N]})$ , est un  $\mathbf{T}/I \otimes \mathbf{Z}[1/2N]$ -module libre de rang 1, de base l'image de  $\frac{d}{dq}|_0$ .*

On commence par travailler sur  $\mathbf{Q}$  :

**Proposition 4.10** *On a  $\text{Tan}_0(J_{\mathbf{Q}}^I) = I.\text{Tan}_0(J_0(N)_{\mathbf{Q}})$ .*

**Preuve de la proposition.** Soit  $(i_1, i_2, \dots, i_n)$  un système de générateurs de  $I$  ( $\mathbf{T}$  est noethérien puisque  $\mathbf{Z}$ -module de type fini) ;  $J_{\mathbf{Q}}^I$  est donc l'image du morphisme :

$$\oplus_{1 \leq j \leq n} J_0(N)_{\mathbf{Q}} \xrightarrow{\phi} J_0(N)_{\mathbf{Q}}$$

défini par la multiplication par ce système. On en déduit sur les espaces tangents :

$$\oplus_{1 \leq j \leq n} \text{Tan}_0(J_0(N)_{\mathbf{Q}}) \xrightarrow{\tilde{\phi}} \text{Tan}_0(J_0(N)_{\mathbf{Q}}).$$

La proposition découle alors du lemme :

**Lemme 4.11** *Pour tout morphisme  $A \xrightarrow{\psi} B$  de variétés abéliennes sur  $\mathbf{Q}$ , on a  $\text{Tan}_0(\psi(A)) = \tilde{\psi}(\text{Tan}_0(A))$ .*

**Preuve du lemme.** Le foncteur  $A \mapsto \text{Tan}_0(A)$  de la catégorie des groupes algébriques commutatifs sur  $\mathbf{Q}$  dans celle des  $\mathbf{Q}$ -espaces vectoriels, est exact à gauche. Mais il est aussi exact à droite : de la suite exacte  $0 \rightarrow A \rightarrow B \rightarrow C \rightarrow 0$  se déduit celle sur les tangents :  $0 \rightarrow \text{Tan}_0(A) \rightarrow \text{Tan}_0(B) \rightarrow \text{Tan}_0(C) \rightarrow 0$  ; si les dimensions des variétés sont  $a$ ,  $b$  et  $c$  respectivement, on a  $a + c = b$ , et comme les dimensions des espaces tangents associés sont les mêmes (lissité des groupes algébriques sur  $\mathbf{Q}$ ), la dernière flèche de la dernière suite est surjective.

Si donc on a un morphisme  $\psi$  :

$$0 \rightarrow \ker(\psi) \rightarrow A \xrightarrow{\psi} \psi(A) \rightarrow 0,$$

on a bien

$$\text{Tan}_0(\psi(A)) = \text{Tan}_0(A)/\text{Tan}_0(\ker(\psi)) = \tilde{\psi}(\text{Tan}_0(A)). \quad \square$$

Considérons maintenant le problème sur  $\mathbf{Z}[1/2N]$ .

**Preuve du théorème.** De la suite exacte de variétés abéliennes sur  $\mathbf{Q}$  :

$$0 \rightarrow J_{\mathbf{Q}}^I \rightarrow J_0(N)_{\mathbf{Q}} \rightarrow J_{I,\mathbf{Q}} \rightarrow 0,$$

on déduit par propriété universelle des modèles de Néron un complexe de schémas abéliens :

$$0 \rightarrow J_{\mathbf{Z}[1/2N]}^I \rightarrow J_0(N)_{\mathbf{Z}[1/2N]} \rightarrow J_{I,\mathbf{Z}[1/2N]} \rightarrow 0,$$

qui est en réalité une *suite exacte*, d'après un résultat de Raynaud (voir section 1, proposition 1.2 de [Mazur 78]). Ce résultat assure encore que la suite :

$$0 \rightarrow \text{Tan}_0(J_{\mathbf{Z}[1/2N]}^I) \rightarrow \text{Tan}_0(J_0(N)_{\mathbf{Z}[1/2N]}) \rightarrow \text{Tan}_0(J_{I,\mathbf{Z}[1/2N]}) \rightarrow 0$$

est exacte elle aussi (même référence, corollaire 1.1). Or on voit par la section précédente que  $\text{Tan}_0(J_0(N)_{\mathbf{Z}[1/2N]})$  est un  $\mathbf{T} \otimes \mathbf{Z}[1/2N]$ -module libre de rang 1, de base  $\frac{d}{dq}|_0$  ; il existe donc un idéal  $I'$  de  $\mathbf{T}[1/2N]$  tel que la suite précédente de  $\mathbf{T}[1/2N]$ -modules soit isomorphe à :

$$0 \rightarrow I' \rightarrow \mathbf{T} \otimes \mathbf{Z}[1/2N] \rightarrow \mathbf{T} \otimes \mathbf{Z}[1/2N]/I' \rightarrow 0.$$

Mais puisque sur  $\mathbf{Q}$  on a  $I_{\mathbf{Q}} = I'_{\mathbf{Q}}$ , que  $I$  est par hypothèse saturé, et que  $I'$  l'est aussi (puisque  $\text{Tan}_0(J_{I,\mathbf{Z}[1/2N]}) \simeq \mathbf{T}[1/2N]/I'$  est sans torsion), on a bien  $I' = I_{\mathbf{Z}[1/2N]}$ . Donc

$$\text{Tan}_0(J_{I,\mathbf{Z}[1/2N]}) \simeq (\mathbf{T}/I)_{\mathbf{Z}[1/2N]}. \quad \square$$

#### 4.12 Preuve de la proposition “critère de Kamienny”.

On rappelle la situation dans laquelle on s'est mis avec notre problème initial de borne pour la torsion de courbes elliptiques (voir la section 1, dont on reprend les hypothèses et notations). Rappelons le morphisme naturel  $f_d : X_0(p^n)_{\text{lisse}}^{(d)} \rightarrow J_0^e$ , normalisé par  $\infty^{(d)} \mapsto 0$ . On a défini en (1.2) un point  $j^{(d)}$ , à valeur dans  $\mathbf{Z}$ , de  $X_0(p^n)_{\text{lisse}}^{(d)}$ , qui croise  $\infty^{(d)}$  sur la fibre en  $l$ . On va d'abord

montrer que ceci implique que  $f_d$  n'est pas une immersion formelle au point  $\infty_{\mathbf{F}_l}^{(d)}$ , en suivant l'exposé de [Oesterlé 94].

Soit  $S$  un schéma quelconque. Si  $\phi : X \rightarrow Y$  est un morphisme de  $S$ -schémas noethériens, on dit que c'est une *immersion formelle* en un point  $x$  de  $X$  si l'application  $\hat{\mathcal{O}}_{Y,\phi(x)} \rightarrow \hat{\mathcal{O}}_{X,x}$  déduite de  $\phi$  entre complétés d'anneaux locaux est surjective. Si  $s$  est l'image dans  $S$  de  $x$  (et  $y$ ), on montre que ceci équivaut à ce que la restriction de  $\phi$  aux fibres en  $s$  soit une immersion formelle en  $x$ . On démontre ensuite dans [Oesterlé 94] (lemme 5.1) :

**Lemme 4.13** *Supposons que  $X$  soit séparé, que  $\phi : X \rightarrow Y$  soit une immersion formelle en  $x$ . Supposons qu'il existe un schéma intègre noethérien  $T$  et deux points  $p_1$  et  $p_2$  de  $X$  à valeur dans  $T$ , tel qu'en un point  $t$  de  $T$  on ait  $x = p_1(t) = p_2(t)$ . Si de plus on a  $\phi \circ p_1 = \phi \circ p_2$ , alors  $p_1 = p_2$ .*

Ce qui nous permet de montrer :

**Théorème 4.14** *Le morphisme  $f_d$  n'est pas une immersion formelle en  $\infty_{\mathbf{F}_l}^{(d)}$ .*

**Preuve.** Puisque  $j^{(d)}$  croise  $\infty^{(d)}$  sur la fibre en  $l$ , le point  $f_d(j^{(d)})$  de  $J_0^e(\mathbf{Z}_l)$  se réduit en 0 au-dessus de  $l$ . Ce point est de torsion, car  $J_0^e(\mathbf{Q})$  l'est. Puisque  $l > 2$ , le "lemme de spécialisation" (voir par exemple [Edixhoven 94], lemme 3.3) assure que  $f_d(j^{(d)})$  est nul dans tout  $J_0^e(\mathbf{Z}_{(l)})$ . Mais alors, on peut appliquer le lemme précédent et en conclure que si  $f_d$  était une immersion formelle en  $\infty_{\mathbf{F}_l}^{(d)}$ , on aurait  $j^{(d)} = \infty^{(d)}$  - ce qui contredit évidemment l'interprétation modulaire de ces points.  $\square$

La courbe  $X_0(N)$  a en l'infini la coordonnée formelle  $q$ ; donc  $X_0(N)^d$  a les coordonnées formelles  $q_1, \dots, q_d$  au point  $(\infty, \dots, \infty)$ , et les fonctions symétriques élémentaires  $\sigma_1 = q_1 + \dots + q_d, \dots, \sigma_d = q_1 \cdots q_d$  sont des coordonnées formelles au point  $\infty^{(d)}$  de  $X_0(N)^{(d)}$ , donc  $d\sigma_1, \dots, d\sigma_d$  forment une base de  $\text{Cot}_{\infty^{(d)}}(X_0(N)^{(d)})$ . On a alors le lemme :

**Lemme 4.15** *Soit  $\omega$  un élément de  $\text{Cot}_0(J_0^e)$ . Alors  $f_1^*(\omega)$  est une forme différentielle sur  $X_0(N)/\mathbf{Z}[1/N]$ . Notons  $(\sum_{n \geq 1} a_n q^n)(dq/q)$  son développement de Fourier à l'infini. On a :*

$$f_d^*(\omega) = a_1 d\sigma_1 - a_2 d\sigma_2 + \dots + (-1)^{d-1} d\sigma_d \in \text{Cot}_{\infty^{(d)}}(X_0(N)/\mathbf{Z}[1/N])^{(d)}.$$

Pour la **preuve**, voir [Edixhoven 94], lemme 4.2. On en déduit :

**Corollaire 4.16** *L'application tangente à  $f_d$  en  $\infty^{(d)}$  envoie  $\frac{d}{d\sigma_1}, \dots, \frac{d}{d\sigma_d}$  sur  $T_1(\frac{d}{dq}|_0), -T_2(\frac{d}{dq}|_0), \dots, (-1)^{d-1} T_d(\frac{d}{dq}|_0)$  respectivement.*

**Preuve.** La relation  $a_1(T_n f) = a_n(f)$  pour toute forme modulaire (voir la preuve du lemme 4.5) et le lemme précédent suffisent à conclure.  $\square$

Et on arrive au théorème qu'on veut finalement montrer :

**Théorème 4.17** *On a équivalence entre :*

1.  $f_d$  est une immersion formelle en  $\infty_{\mathbf{F}_l}^{(d)}$ , et
2.  $T_1 e, \dots, T_d e$  sont  $\mathbf{F}_l$ -linéairement indépendants dans  $\mathbf{T}e/\ell\mathbf{T}e$ .

De plus, ces deux conditions sont satisfaites si l'est :

3.  $T_1\{0, \infty\}, \dots, T_{d,s}\{0, \infty\}$  sont  $\mathbf{F}_l$ -linéairement indépendants dans l'espace vectoriel  $H_1(X_0(p^n), \text{pointes}; \mathbf{Z}) \otimes \mathbf{F}_l$  (où  $s$  désigne le plus petit nombre premier différent de  $p$ ).

Avant de passer à la démonstration, un lemme préliminaire :

**Lemme 4.18** Soit  $N$  un entier positif strict, et  $r$  un second, premier au premier. Alors, sur la courbe modulaire  $X_0(N)_{\mathbf{C}}$ , on a  $T_r.0 = \sigma_1(r).0$  et  $T_r.\infty = \sigma_1(r).\infty$ , où comme d'habitude  $\sigma_1(r)$  est la somme des diviseurs de  $r$ .

**Preuve du lemme.** On se place "en projectif" : on identifie  $X_0(N)_{\mathbf{C}}$  avec  $(\mathbf{H} \cup \mathbf{P}^1(\mathbf{Q}))/\Gamma_0(N)$  et on désigne par  $\begin{pmatrix} x \\ y \end{pmatrix}$  l'élément  $x/y$  de  $\mathbf{P}^1(\mathbf{Q})$ . En particulier, les points  $0$  et  $\infty$  seront écrits  $\begin{pmatrix} 0 \\ 1 \end{pmatrix}$  et  $\begin{pmatrix} 1 \\ 0 \end{pmatrix}$  respectivement. On peut voir les opérateurs de Hecke comme des correspondances sur  $X_0(N)_{\mathbf{C}}$  (voir la section 5), qui vérifient :

$$T_r.0 = \sum_{\substack{1 \leq \delta | r \\ 0 \leq \beta < \delta}} \begin{pmatrix} \frac{r}{\delta} & -\beta \\ 0 & \delta \end{pmatrix} \cdot \begin{pmatrix} 0 \\ 1 \end{pmatrix} = \sum_{\substack{1 \leq \delta | r \\ 0 \leq \beta < \delta}} \begin{pmatrix} -\beta \\ \delta \end{pmatrix}.$$

Or, chacun de ces  $\begin{pmatrix} -\beta \\ \delta \end{pmatrix}$  est conjugué par un élément de  $\Gamma_0(N)$  à  $\begin{pmatrix} 0 \\ 1 \end{pmatrix}$  : en effet, quitte à remplacer  $\beta$  et  $\delta$  par leur quotient par leur p.g.c.d., on peut les supposer premiers entre eux, et choisir des entiers  $a$  et  $b$  tels que  $a\delta - bN\beta = 1$  ; alors on a :

$$\begin{pmatrix} a & -\beta \\ bN & \delta \end{pmatrix} \cdot \begin{pmatrix} 0 \\ 1 \end{pmatrix} = \begin{pmatrix} -\beta \\ \delta \end{pmatrix},$$

et la matrice de gauche est bien de  $\Gamma_0(N)$ .

De la même façon,

$$T_r.\infty = \sum_{\substack{1 \leq \delta | r \\ 0 \leq \beta < \delta}} \begin{pmatrix} \frac{r}{\delta} & -\beta \\ 0 & \delta \end{pmatrix} \cdot \begin{pmatrix} 1 \\ 0 \end{pmatrix} = \sum_{\substack{1 \leq \delta | r \\ 0 \leq \beta < \delta}} \begin{pmatrix} \frac{r}{\delta} \\ 0 \end{pmatrix} = \sigma_1(r).\infty \quad \square$$

**Preuve du théorème.** D'abord l'équivalence des deux premiers points. La propriété pour un morphisme d'être une immersion formelle en un point est, formulation duale de celle sur les espaces cotangents, que l'application induite par ce morphisme sur les tangents correspondants est une injection. Le corollaire 4.16 dit donc que  $f_d$  est une immersion formelle en  $\infty_{\mathbf{F}_l}^{(d)}$  si et seulement si les vecteurs  $T_i(\frac{d}{dq}|_0)$ ,  $1 \leq i \leq d$  sont linéairement indépendants dans  $\text{Tan}_0(J_0^e(\overline{\mathbf{F}}_l))$ . Mais le théorème 4.9 assure que cet espace tangent est un  $\mathbf{T}/\mathcal{A}_e \otimes_{\mathbf{Z}} \overline{\mathbf{F}}_l$ -module libre de rang 1 de base  $\frac{d}{dq}|_0$ , d'où l'équivalence des propriétés 1. et 2. du théorème.

Prouvons la dernière implication. On rappelle qu'il y a un isomorphisme de  $\mathbf{R}$ -espaces vectoriels :

$$\begin{cases} H_1(X_0(p^n); \mathbf{Z}) \otimes \mathbf{R} & \rightarrow \text{Hom}_{\mathbf{C}}(H^0(X_0(p^n); \Omega^1), \mathbf{C}) \\ \gamma \otimes 1 & \mapsto (\omega \mapsto \int_{\gamma} \omega). \end{cases}$$

L'intégration permet d'en déduire un morphisme de  $H_1(X_0(p^n), \text{pointes}; \mathbf{Z})$  dans  $H_1(X_0(p^n); \mathbf{Z}) \otimes \mathbf{R}$ , et comme on l'a dit, l'élément d'enroulement  $e$ , qui est l'image par ce morphisme du symbole modulaire  $\{0, \infty\}$ , est élément de  $H_1(X_0(p^n); \mathbf{Q})$ .

Maintenant, c'est avec les symboles modulaires, vivant dans l'homologie relative aux pointes, qu'on sait travailler ; mais c'est dans l'homologie absolue qu'il nous faut une indépendance  $\mathbf{F}_l$ -linéaire. Pour s'y ramener, on fait agir l'opérateur  $I_s := T_s - \sigma_1(s)$  sur  $\{0, \infty\}$ . En effet, puisque  $s$  est premier au niveau, le lemme précédent dit que  $T_s$  envoie les pointes  $0$  et  $\infty$  sur  $(s+1)$ -fois elles-mêmes, donc  $I_s$  pousse bien  $\{0, \infty\}$  dans  $H_1(X_0(p^n); \mathbf{Z})$  vu comme sous-module de  $H_1(X_0(p^n), \text{pointes}; \mathbf{Z})$ . Considérons aussi  $H_1(X_0(p^n); \mathbf{Z})$  comme un sous-module de  $H_1(X_0(p^n); \mathbf{Q})$ .

Supposons que la propriété 2. du théorème ne soit pas vérifiée. Il existe donc une relation de dépendance :

$$\overline{\lambda}_1 T_1 e + \cdots + \overline{\lambda}_k T_k e = 0 \in \mathbf{T}e/l\mathbf{T}e,$$

pour un  $k \leq d$  tel que  $\overline{\lambda}_k$  soit non nul. On la relève en

$$\lambda_1 T_1 e + \cdots + \lambda_k T_k e = l x \in l\mathbf{T}e \subseteq H_1(X_0(p^n); \mathbf{Q}),$$

on la multiplie par  $I_s$  pour obtenir

$$I_s \left( \sum_{i=1}^k \lambda_i T_i e \right) = \sum_{i=1}^k \lambda_i T_i (I_s e) = \lambda_k T_{sk} e + \sum_{i=1}^{sk-1} \mu_i T_i e = l I_s x \in l\mathbf{T}e.$$

(En effet, la définition des opérateurs de Hecke (par exemple avec la série formelle) donne que  $T_s.T_n = T_{s.n} +$  (combinaison linéaire de termes d'indice plus petit).) Les formes linéaires que définissent  $I_s\{0, \infty\}$  et  $I_s e$  par l'intégration sont les mêmes, et puisqu'on peut voir ces deux éléments comme appartenants à  $H_1(X_0(p^n); \mathbf{R})$ , ils sont en fait égaux. On en déduit une relation de dépendance linéaire :

$$\lambda_k T_{sk} \{0, \infty\} + \left( \sum_{i=1}^{sk-1} \mu_i T_i \{0, \infty\} \right) = l I_s x \in l H_1(X_0(p^n), \text{pointes}; \mathbf{Z}),$$

et en considérant son image dans  $H_1(X_0(p^n), \text{pointes}; \mathbf{Z}) \otimes \mathbf{F}_l$ , une contradiction avec la propriété 3. du théorème.  $\square$

## 5 Lemme combinatoire.

Le but de cette partie est de prouver la proposition-clé de la démonstration générale :

**Proposition 1.7** *Soit  $p$  un nombre premier. Posons  $C = \sqrt{65}$  si  $p$  est différent de 2, et  $C = \sqrt{129}$  si  $p$  est 2. Notons  $s$  le plus petit nombre premier différent de  $p$ . Si  $p^n > C^2 \cdot (sd)^6$ , alors les  $T_i\{0, \infty\}$ ,  $1 \leq i \leq sd$  sont  $\mathbf{F}$ -linéairement indépendants dans le  $\mathbf{F}$ -espace vectoriel  $H_1(X_0(p^n), \text{pointes}; \mathbf{Z}) \otimes \mathbf{F}$  pour tout corps  $\mathbf{F}$ .*

## 5.1 Notations et rappels.

On identifie  $\Gamma_0(p^n) \backslash SL_2(\mathbf{Z})$  à  $\mathbf{P}^1(\mathbf{Z}/p^n\mathbf{Z})$  avec :

$$\Gamma_0(p^n) \left( \begin{array}{cc} a & b \\ c & d \end{array} \right) \mapsto (\bar{c}, \bar{d}) = (c \pmod{p^n}, d \pmod{p^n}).$$

L'application de  $\Gamma_0(p^n) \backslash SL_2(\mathbf{Z})$  vers  $H_1(X_0(p^n), \text{pointes}; \mathbf{Z}) : g \mapsto \{g \cdot 0, g \cdot \infty\}$  s'identifie alors à une application de  $\mathbf{P}^1(\mathbf{Z}/p^n\mathbf{Z})$  vers la même chose, qu'on note  $\xi$  :

$$\xi(\bar{w}, \bar{t}) = \left\{ \overline{\left( \begin{array}{cc} a & b \\ w & t \end{array} \right) \cdot 0}, \overline{\left( \begin{array}{cc} a & b \\ w & t \end{array} \right) \cdot \infty} \right\} = \left\{ \frac{b}{t}, \frac{a}{w} \right\},$$

avec  $w, t$ , relèvements dans  $\mathbf{Z}$  de  $\bar{w}$  et  $\bar{t} \in \mathbf{Z}/p^n\mathbf{Z}$  et  $a, b \in \mathbf{Z}$  tels que  $\begin{pmatrix} a & b \\ w & t \end{pmatrix}$  soit dans  $SL_2(\mathbf{Z})$ .

On sait de plus qu'on a :

$$T_r\{0, \infty\} = \sum_{\substack{0 \leq w < t \\ 0 \leq v < u \\ ut - vw = r}} \xi(\bar{w}, \bar{t}),$$

où on pose  $\xi(\bar{w}, \bar{t}) = 0$  si  $\text{pgcd}(w, t, p) > 1$  (voir [Merel 94], théorème 2 et proposition 20, ou la démonstration du lemme 2 de [Merel 95]).

Soit  $\sigma = \begin{pmatrix} 0 & 1 \\ -1 & 0 \end{pmatrix}$  et  $\tau = \begin{pmatrix} 0 & -1 \\ 1 & -1 \end{pmatrix}$ . On choisit pour représentants de  $\mathbf{P}^1(\mathbf{Z}/p^n\mathbf{Z}) : \{(R_1, 1), R_1 \text{ un système de représentants de } \mathbf{Z}/p^n\mathbf{Z}\} \cup \{(1, p.R_2), R_2 \text{ un système de représentants de } \mathbf{Z}/p^{n-1}\mathbf{Z}\}$ . On note  $w/t$  au lieu de  $(\bar{w}, \bar{t})$ , souvent. On fait agir  $SL_2(\mathbf{Z})$  sur  $\mathbf{P}^1(\mathbf{Z}/p^n\mathbf{Z})$  à droite, comme d'habitude. En particulier :

$$(\bar{w}, \bar{t}) \cdot \sigma = (\bar{w}, \bar{t}) \begin{pmatrix} 0 & -1 \\ 1 & 0 \end{pmatrix} = (\bar{-t}, \bar{w}),$$

et de même  $(w/t) \cdot \tau = -t/(w+t)$ .

On note encore  $\Sigma_r = \{(\bar{w}, \bar{t}), 0 \leq w < t \mid \text{il existe } (v, u), 0 \leq v < u, 0 \leq (ut - vw) \leq r\} \setminus \{(\bar{1}, \bar{r})\}$ , et  $\mathbf{Z}[\mathbf{P}^1(\mathbf{Z}/p^n\mathbf{Z})]^\sigma$  (respectivement,  $\mathbf{Z}[\mathbf{P}^1(\mathbf{Z}/p^n\mathbf{Z})]^\tau$ ) désigne l'ensemble des éléments de  $\mathbf{Z}[\mathbf{P}^1(\mathbf{Z}/p^n\mathbf{Z})]$  stables par l'action de  $\sigma$  (respectivement,  $\tau$ ). Le symbole  $\sum_\sigma$  désignera une somme à valeurs dans le  $\mathbf{Z}$ -module  $\mathbf{Z}[\mathbf{P}^1(\mathbf{Z}/p^n\mathbf{Z})]^\sigma$ , et de même avec  $\tau$ .

On a la suite exacte (voir par exemple [Merel 93]) :

$$\mathbf{Z}[\mathbf{P}^1(\mathbf{Z}/p^n\mathbf{Z})]^\sigma \times \mathbf{Z}[\mathbf{P}^1(\mathbf{Z}/p^n\mathbf{Z})]^\tau \xrightarrow{\phi_1} \mathbf{Z}[\mathbf{P}^1(\mathbf{Z}/p^n\mathbf{Z})] \xrightarrow{\phi_2} H_1(X_0(p^n), \text{pointes}; \mathbf{Z}) \rightarrow 0,$$

avec  $\phi_1 : (\Sigma\alpha_x x, \Sigma\beta_x x) \mapsto (\Sigma\alpha_x x + \Sigma\beta_x x)$ , et  $\phi_2 : \Sigma\lambda_x x \mapsto \Sigma\lambda_x \cdot \xi(x)$ .

## 5.2 Preuve de la proposition.

Posons  $D = sd$ . Supposons  $p^n > C^2.D^6$ , et que pour un  $r \leq D$ , on ait une relation de liaison :  $\sum_{i=1}^r \lambda_i T_i \{0, \infty\} = 0$  dans  $H_1(X_0(p^n), \text{pointes}; \mathbf{F}_l)$ . On va montrer que  $\lambda_r$  est nul : ce qui suffira à la preuve de la proposition. Ce qui précède permet d'écrire :

$$\sum_{i=1}^r \lambda_i T_i \{0, \infty\} = 0 \iff \lambda_r \cdot (1/r) + \sum_{\Sigma_r} \mu_{(\bar{w}, \bar{t})} (w/t) = \sum_{\sigma} \alpha_x(x) - \sum_{\tau} \beta_x(x).$$

De même que dans [Merel 95] on prouve avec l'aide de Fouvry le :

**Lemme 5.3** *Soit  $A$  et  $B$  deux intervalles de  $\{1, 2, \dots, p^n - 1\}$  tel que*

$$|A| \cdot |B| \geq C' \cdot p^{3n/2},$$

où  $C' = 8$  si  $p$  est impair, et  $C' = 8\sqrt{2}$  si  $p = 2$ . Alors il existe  $y \in A$  et  $z \in B$  tel que  $y \cdot z \equiv -1 \pmod{p^n}$ .

(On a prouvé une version moins bonne de ce lemme, utilisant une constante  $C = (512\pi^2)/(2\sqrt{2} - 1)$ ; la forme ici utilisée de ce lemme est obtenue en optimisant les calculs par Oesterlé dans [Oesterlé 96].) On considère le graphe de  $\mathbf{P}^1(\mathbf{Z}/p^n\mathbf{Z})$  dont les arêtes sont l'action de  $\sigma$  et  $\tau$  (voir **Figure 1**) : on a  $(\tau\sigma) = \begin{pmatrix} -1 & 0 \\ -1 & -1 \end{pmatrix}$ , donc  $(\bar{w}, \bar{t}) \cdot \tau\sigma = (\bar{w}, \bar{t}) + \bar{1}$  (et de même  $(\bar{w}, \bar{t}) \cdot \sigma\tau^2 = (\bar{w}, \bar{t}) - \bar{1}$ ).

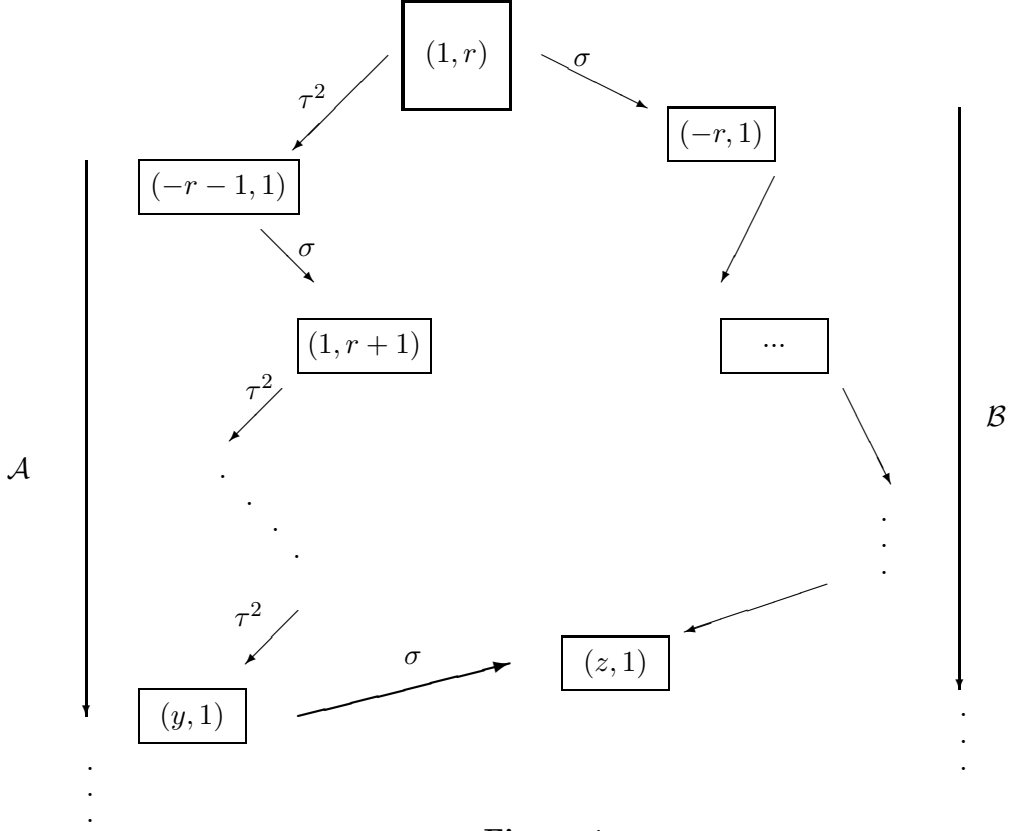


Figure 1

On va montrer qu'on a sur ce graphe, "de part et d'autre" de  $(\bar{1}, \bar{r})$  (c'est-à-dire, contenant  $(\bar{1}, \bar{r}) \cdot \tau^2 = (\overline{-r-1}, \bar{1})$  et  $(\bar{1}, \bar{r}) \cdot \sigma = (\overline{-r}, \bar{1})$  respectivement), deux chemins  $\mathcal{A}$  et  $\mathcal{B}$  ne rencontrant pas d'éléments de  $\Sigma_r$ , (les autres éléments du graphe intervenant dans  $\sum \lambda_i T_i\{0, \infty\}$ ), et qui contiennent des intervalles de cardinal supérieur à  $(p^n/D) - D - 2$  et  $(p^n/D^2) - 2$  respectivement. Alors par le lemme de théorie analytique des nombres, pour

$$((p^n/D) - D - 2) \cdot ((p^n/D^2) - 2) \geq C' \cdot p^{3n/2}, \text{ i.e.}$$

$$p^n \geq C^2 \cdot D^6,$$

on aura dans  $\mathcal{A}$  et dans  $\mathcal{B}$  respectivement des éléments  $y$  et  $z$  tel que  $y \cdot \sigma = \frac{-1}{y} = z$  (on explicite ces calculs, et notamment le passage de  $C'$  à  $C$ , à la fin de la section). De plus  $y \cdot \sigma$  sera un élément de  $\mathcal{A}$ , puisque ce chemin est de forme :

$$\begin{aligned} \dots \rightarrow (\bar{a}, \bar{1}) &\xrightarrow{\tau^2} (\overline{-1}, \overline{a+1}) &\xrightarrow{\sigma} (\overline{a+1}, \bar{1}) \rightarrow \dots \\ &\rightarrow +\bar{1} = \tau\sigma &\rightarrow \end{aligned}$$

Les deux chemins se "rencontrent", donc. Or on a, pour tout élément  $x$  du graphe,  $\mu_x = \alpha_x - \beta_x$  par ce qui précède. Puisque les deux chemins ne rencon-

trent pas  $\Sigma_r$ , si  $x$  en est, on a  $\mu_x = 0$  donc  $\alpha_x = \beta_x$ . De plus, on parcourt ces chemins en faisant agir  $\sigma$  ou  $\tau$ ; donc si  $x' = x \cdot \sigma$ ,  $\alpha_{x'} = \alpha_{x \cdot \sigma} = \alpha_x = \beta_x = \beta_{x'}$ , de même avec  $\tau$  - donc  $\alpha_x = \beta_x \equiv \alpha_{-r}$  sur les deux chemins. Mais

$$\lambda_{\bar{r}} = \mu_{\frac{1}{r}} = \alpha_{\frac{1}{r}} - \beta_{\frac{1}{r}} = \alpha_{\frac{1}{r} \cdot \sigma} - \beta_{\frac{1}{r} \cdot \tau^2} = 0.$$

Montrons donc l'existence de ces chemins. (Dans tous les calculs qui suivent, on confond l'écriture d'un entier  $w$  et de sa réduction  $\bar{w}$ , pour alléger les notations).

Premier chemin :  $\mathcal{A}$  partant de  $\frac{1}{r} \tau^2 = -r - 1$ .

1) Si  $\frac{w}{t} - (-r - 1) = \bar{a}$ , avec  $a$  choisi dans  $\{-p^n + 1, \dots, -1, 0\}$ , et  $\bar{a}$  : classe de  $a \bmod p^n$  ( $\iff w + t(r + 1) = at + b.p^n$ ,  $b \in \mathbf{Z}$ ).

Si  $b = 0$  :  $t(r + 1) - at = -w$  : incompatibilité de signes.

Si  $b \neq 0$  :  $|a| = \frac{1}{t} |b.p^n - t(r + 1) - w| \geq \frac{(p^n - D(D+1) - D)}{D} \geq \frac{p^n}{D} - D - 2$   
(on a en effet :  $\det \begin{pmatrix} u & v \\ w & t \end{pmatrix} = k \leq r$ ,  $u > v \geq 0$ ,  $t > w \geq 0$ , donc :  
 $k = ut - vw \geq ut - (u - 1)(t - 1)$  et  $u + t - 1 \leq r$ ,  $t \leq r - u + 1 \leq r \leq D$ ).

2) Si  $(\frac{w}{t})\sigma - (-r - 1) = \frac{-t}{w} + r + 1 = \bar{a}$ ,  $a \in \{-p^n + 1, \dots, -1, 0\}$  ;  
 $-t + w(r + 1) = aw + bp^n$  ;

Si  $b = 0$  :  $w(r + 1 - a) = t$  ; mais  $(r + 1 - a) \geq r + 1$ , et  $0 \leq w < t \leq r$  : contradiction.

Si  $b \neq 0$ ,  $|a| \geq (\frac{p^n - D(D+1) + D}{D}) \geq \frac{p^n}{D} - D$ .

On peut donc "reculer" (...  $\alpha \xrightarrow{\sigma} \cdot \xrightarrow{\tau^2} \alpha - 1 \xrightarrow{\sigma} \cdot \xrightarrow{\tau^2} \alpha - 2$  ...) à partir de  $(-r - 1)$ , et décrire ainsi un chemin contenant un intervalle de cardinal supérieur à  $p^n/D - D - 2$ .

Second chemin. On doit là distinguer deux cas, selon que  $p$  divise ou non  $r$  (voir **Figure 2**).

**a)** Si  $p$  ne divise pas  $r$ , chemin  $\mathcal{B}$  : on part de  $(\frac{1}{r})$  lui-même, on recule de même :

$$1) \frac{w}{t} - \frac{1}{r} = \bar{a}, \quad -p^n < a \leq 0 \iff wr - t = art + b.p^n ;$$

$$\underline{b = 0} : t = r(w - at) \Rightarrow a = 0, \quad w = 1, \quad t = r : \text{c'est } \frac{1}{r} \text{ lui-même.}$$

$$\underline{b \neq 0} : |a| \geq \frac{p^n - D^2}{D^2} \text{ de même que plus haut.}$$

$$2) -\frac{t}{w} - \frac{1}{r} = \bar{a} : -rt - w = awr + b.p^n;$$

$$\underline{b=0} \Rightarrow r|w, \text{ impossible (car } w \leq r-1, \text{ et } : w=0 \Rightarrow t=0).$$

$$\underline{b \neq 0} \Rightarrow |a| \geq \frac{p^n}{D^2} - 2.$$

**b)** Si  $p$  divise  $r$ , on a alors que le chemin  $\mathcal{B}$  précédent :  $\frac{1}{r} \xrightarrow{\sigma\tau^2} \frac{1-r}{r} \xrightarrow{\sigma\tau^2} \dots$  est bien de longueur supérieure à  $(\frac{p^n}{D^2})$ ; mais il ne contient pas cette fois d'intervalle, puisque  $r$  n'est pas inversible modulo  $p^n$ , donc l'action de  $\sigma\tau^2$  ne correspond plus à l'addition de  $(-1)$  (les  $k/pl$  ne sont plus relevables en éléments de  $\mathbf{Z}/p^n\mathbf{Z}$ ). Cependant, le calcul précédent montre que  $\frac{r}{r-1} = \frac{1}{r} \cdot \sigma\tau^2\sigma$ ; et  $(r-1)$  est, cette fois, inversible modulo  $p^n$ , donc en "avançant" à partir de cet élément et à l'aide de  $(\tau\sigma)$ , on aura bien un intervalle; on note  $\mathcal{B}'$  ce chemin. On minore encore une fois sa longueur :

$$1) \frac{w}{t} - \frac{r}{r-1} = \bar{a} \iff w(r-1) - rt = at(r-1) + b.p^n \text{ (on écrit cette fois cela avec } 0 \leq a \leq p^n - 1).$$

Si  $b=0$  :  $t(r+a(r-1)) = w(r-1)$ ; mais  $w < t$ , et  $a(r-1) + r > r-1$ , contradiction.

$$\underline{\text{Si } b \neq 0} : |a| \geq \frac{p^n}{D^2} - 1.$$

$$2) \frac{w}{t} \cdot \sigma - \frac{r}{r-1} = -\frac{t}{w} - \frac{r}{r-1} = \bar{a} \iff -t(r-1) - rw = aw(r-1) + b.p^n.$$

$$\underline{b=0} : t(r-1) = -w(a(r-1) + r), \text{ contradiction de signes.}$$

$$\underline{b \neq 0} : |a| \geq \frac{p^n}{D^2} - 2.$$

Dans chaque cas, on obtient bien que ce second chemin contient un intervalle de cardinal supérieur ou égal à  $(p^n/D^2) - 2$ .  $\square$

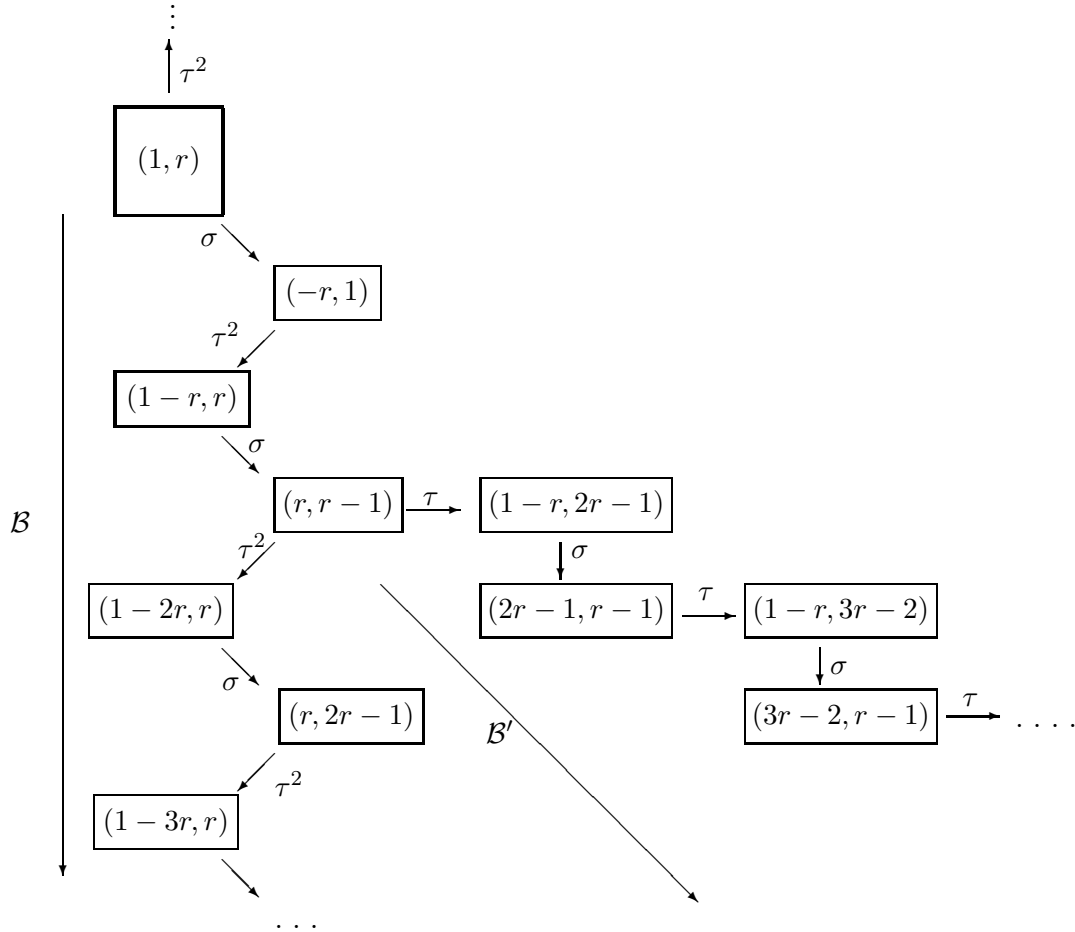


Figure 2

On montre pour finir comment on passe du lemme 5.3 à la proposition 1.7 : on a vu qu'on pouvait prendre  $|A| \geq (p^n/D^2) - 2$  et  $|B| \geq (p^n/D) - D - 2$ . On a supposé qu'était satisfaite la condition de la proposition :  $p^n \geq (C^2).D^6$ . On a  $C^2 \geq 65$ ,  $s \geq 2$ , et les bornes du corollaire 1.8 sont supérieures (!) à celles qu'on connaissait déjà pour les degrés 1 et 2, donc on peut supposer  $D \geq 6$ . Minorons la taille de  $A$  : on a  $p^n/D^2 \geq 65.D^4 \geq 84240 = 42120.(2)$ , donc  $|A| \geq (42119/42120).(p^n/D^2)$ . Pour  $B$ , on a :  $D + 2 \leq (4/3).D$ , et  $p^n/D \geq 65.D^5.D \geq 379080.(D + 2)$ ; donc  $|B| \geq (379079/379080).(p^n/D)$ . Si on pose  $\lambda := (42119/42120).(379079/379080)$ , on a donc :

$$|A|.|B| \geq \lambda.p^{2n}/D^3.$$

Pour que les conditions du lemme soient vérifiées, il suffit qu'on ait  $\lambda.p^{2n}/D^3 \geq C'.p^{3n/2}$ , i.e.  $p^n \geq (C'^2/\lambda^2).D^6$ , et évidemment  $C$  a été choisie pour que ça marche.  $\square$

**Remerciements.** Je remercie ici Loïc Merel qui m'a suggéré l'idée essentielle de ce papier, et Bas Edixhoven qui encadre tout ce travail. Merci aussi à Joseph Oesterlé pour l'idée du lemme 1.4, et à Étienne Fouvry pour le lemme de théorie analytique des nombres.

## Références

- [Atkin-Lehner 70] A.O.L. Atkin, J. Lehner, *Hecke Operators on  $\Gamma_0(m)$* , Math. Ann. 185, pages 134-160, (1970).
- [Bump-Friedberg-Hoffstein 90] D. Bump, S. Friedberg, J. Hoffstein, *Nonvanishing theorems for  $L$ -functions of modular forms and their derivatives*, Inventiones Mathematicæ102, pages 543-618, (1990).
- [Coleman-Edixhoven 96] Robert F. Coleman, Bas Edixhoven, *On the semi-simplicity of the  $U_p$ -operator on modular forms*, article en préparation.
- [Diamond-Im] Fred Diamond, John Im, *Modular forms and modular curves*, Canadian Mathematical Society Conference Proceedings, à paraître.
- [Edixhoven 94] B. Edixhoven, *Rationnal torsion points on elliptic curves over number fields*, Astérisque (Séminaire Bourbaki 782) (1993).
- [EGA IV] A. Grothendieck, *Éléments de géométrie algébrique IV, (Étude locale des morphismes de schémas)*, Publications mathématiques de l'I.H.E.S. 28 (1965).
- [Hartshorne] R. Hartshorne, *Algebraic Geometry*, GTM 52, Springer-Verlag.
- [Hooley] Hooley, *Applications of Sieve methods to Number Theory*, Cambridge University Press, page 35 (1935).
- [Kamienny 92a] S. Kamienny, *Torsion points on elliptic curves and  $q$ -coefficients of modular forms*, Inventiones Mathematicæ109, pages 221-229 (1992).
- [Kamienny 92b] S. Kamienny, *Torsion points on elliptic curves over fields of higher degree*, International Mathematics Research Notices 6 (1992).
- [Kamienny-Mazur] S. Kamienny et B. Mazur, *Rationnal torsion of prime order in elliptic curves over number fields*, Astérisque (à paraître).

- [Katz-Mazur] N. Katz and B. Mazur, *Arithmetic Moduli of Elliptic Curves*, Annals of Mathematics Studies 108, Princeton University Press (1985).
- [Kolyvagin-Logachev 90] V.A. Kolyvagin, D.Yu. Logachev, *Finiteness of the Shafarevich-Tate group and the group of rational points for some modular abelian varieties*, Leningrad Math. J., Vol. 1, number 5 (1990).
- [Lang] Serge Lang, *Introduction to modular forms*, Grundle Math. Wiss. 222, Springer-Verlag (1976).
- [Manin 69] Manin, *A Uniform Bound for  $p$ -torsion of Elliptic Curves*, Izv. Akad. Nau. CCCP 33 (1969).
- [Manin 72] Y. Manin, *Parabolic points and zeta function of modular curves*, Math. USSR Izvestija 6, pages 19-64 (1972).
- [Mazur 77] B. Mazur, *Modular curves and the Eisenstein ideal*, Publications mathématiques de l'I.H.E.S. 47, pages 33-186 (1977).
- [Mazur 78] B. Mazur, *Rational Isogenies of Prime Degree*, Inventiones Mathematicae 44, pages 129-162 (1978).
- [Merel 93] Loïc Merel, *Sur quelques aspects géométriques et arithmétiques de la théorie des symboles modulaires*, Thèse de doctorat de l'université de Paris VII (1993).
- [Merel 94] Loïc Merel, *Universal Fourier expansions of modular forms*, in *On Artin's conjecture for odd 2-dimensional representations*, Lecture Notes in Mathematics 1585, Springer-Verlag (1994).
- [Merel 95] Loïc Merel, *Bornes pour la torsion des courbes elliptiques sur les corps de nombres*, Inventiones Mathematicæ, à paraître.
- [Mumford] David Mumford, *Abelian Varieties*, Oxford University Press (1970).
- [Murty-Murty 91] M. R. Murty, V. K. Murty, *Mean values of derivatives of modular  $L$ -series*, Ann. Math. 133, pages 447-475, (1991).
- [Oesterlé 94] Joseph Oesterlé, *Torsion des courbes elliptiques sur les corps de nombres*, article à paraître.

- [Oesterlé 96] J. Oesterlé, *Un lemme de théorie analytique des nombres*, à paraître.
- [Salié 31] Salié, *Über die Kloostermanschen Summen*, Math. Zeit. 34, pages 91-109 (1931).
- [SGA 7-I] Grothendieck et al., *Séminaire de géométrie algébrique du Bois-Marie 7-I (Groupes de monodromie en géométrie algébrique)*, Lecture Notes in Mathematics 288, Springer-Verlag, (1972).
- [Serre] Jean-Pierre Serre, *Groupes algébriques et corps de classes*, Hermann (1959).
- [Shimura] Goro Shimura, *Introduction to the Arithmetic Theory of Automorphic Functions*, Princeton University Press (1971).

---

Pierre Parent

IRMAR

Université de Rennes

35 042 RENNES Cédex France

E-mail : [parent@clipper.ens.fr](mailto:parent@clipper.ens.fr)